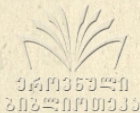


**მათემატიკა • მექანიკა •
ასპრონომია**



PROCEEDINGS OF THE
UNIVERSITY OF
TBISS

MATHEMATICS & ASTRONOMY



თბილისის უნივერსიტეტის გამომცემლობა
ИЗДАТЕЛЬСТВО ТБИССКОГО УНИВЕРСИТЕТА
TBILISI UNIVERSITY PRESS

**МАТЕМАТИКА • МЕХАНИКА •
АСТРОНОМИЯ**

**MATHEMATICS • MECHANICS •
ASTRONOMY**

ИЗДАТЕЛЬСТВО ТБИЛИССКОГО УНИВЕРСИТЕТА
TBILISI UNIVERSITY PRESS



სარედაქციო კოლეგია

ნ. ვახანია, გ. ლომაძე, ლ. მღნარაძე, ნ. მღნარაძე, ლ. ეთეია-
შვილი, ჯ. შარიკაძე (რედაქტორი), ა. ხარაძე.

РЕДАКЦИОННАЯ КОЛЛЕГИЯ

Н. Н. Вахания, Г. А. Ломадзе, Л. Г. Мгнаридзе, Н. Г. Ма-
гнарადзе, Л. В. Жижиашвили, А. К. Харадзе, Д. В. Шар-
икадзе (редактор).

EDITORIAL BOARD

N. Vakhania, A. Kharadze, G. Lomadze, L. Mgnaradze,
N. Mgnaradze, L. Zhizhiashvili, J. Sharikadze (editor).

ОБ ОБЪЕДИНЕНИЯХ КЛАССОВ ВЫЧЕТОВ

И. Г. Когония

Работа посвящена выводу формулы числа классов вычетов объединения классов вычетов по попарно взаимно простым модулям. Эта формула находит разные применения, в частности, при исследовании некоторых неопределенных уравнений в теории цепных дробей.

Исходным пунктом нам служит одно тождество, относящееся к арифметике конечных множеств, точнее - к комбинаторному анализу (его, иногда, называют теоремой логики). Если условиться обозначить через $|E|$ число элементов любого конечного множества E , то оно формулируется следующим образом.

Лемма. Какими бы ни были конечные множества E_1, E_2, \dots, E_n , верно равенство

$$|\bigcup_{\kappa=1}^n E_{\kappa}| = \sum_{\kappa=1}^n (-1)^{\kappa-1} \sum_{1 \leq \kappa_1 < \kappa_2 < \dots < \kappa_{\kappa} \leq n} |E_{\kappa_1} \cap E_{\kappa_2} \cap \dots \cap E_{\kappa_{\kappa}}|.$$

Хотя это равенство почти непосредственно очевидно, приведем, ради полноты изложения, его доказательство - проведем арифметический (комбинаторный) подсчет, подтверждающий интуицию.

Пусть A обозначает любой фиксированный элемент объединения, стоящего в левой части доказываемого равенства, пусть, далее, m обозначает число всех тех множеств среди множеств E_1, E_2, \dots, E_n , которым принадлежит предмет A . Тогда в сумме $\sum_{\kappa=1}^n |E_{\kappa}|$ этот предмет (элемент) засчитывается $m = \binom{m}{1}$ раз, в сумме $\sum_{1 \leq \kappa_1 < \kappa_2 \leq n} |E_{\kappa_1} \cap E_{\kappa_2}|$ - $\binom{m}{2}$ раз и т.д. Таким образом, во всей правой части доказываемого равенства этот элемент засчитывается

$$\binom{m}{1} - \binom{m}{2} + \binom{m}{3} - \dots + (-1)^{m-1} \binom{m}{m} = \sum_{\kappa=1}^m (-1)^{\kappa-1} \binom{m}{\kappa} \quad \text{раз.}$$

Но эта сумма равна единице; в самом деле

$$\sum_{\kappa=1}^m (-1)^{\kappa-1} \binom{m}{\kappa} = -\sum_{\kappa=0}^m (-1)^{\kappa} \binom{m}{\kappa} + 1 = -(1-1)^m + 1 = 1;$$

это означает, что каждый элемент объединения привносит в сумму, стоящую в правой части равенства, одну единицу, чем и доказана верность леммы.

I. Пусть n — любое натуральное число ($n \geq 2$), $m_1, m_2, \dots, m_k, \dots, m_n$ — любые попарно взаимно простые натуральные числа ($m_k \geq 2$); пусть, далее

$$M = m_1 m_2 \dots m_k \dots m_n, \quad M_k = \frac{M}{m_k},$$

тогда $(m_k, M_k) = 1$, $m_k | M_i$ при $i \neq k$.

Из последних соотношений следует, что

$$\sum_{\kappa=1}^n M_{\kappa} = M \sum_{\kappa=1}^n \frac{1}{m_{\kappa}} \geq M \iff \sum_{\kappa=1}^n \frac{1}{m_{\kappa}} \geq 1. \quad (I.2)$$

Пусть a_{κ} обозначает любое число из полной системы наименьших неотрицательных вычетов по модулю m_{κ}

$$a_{\kappa} = 0, 1, 2, \dots, m_{\kappa} - 1 \quad (\kappa = 1, 2, \dots, n). \quad (I.3)$$

Рассмотрим соответствующий класс вычетов по модулю m_{κ}

$$x \equiv a_{\kappa} \pmod{m_{\kappa}} \quad (\kappa = 1, 2, 3, \dots, n) \quad (I.4)$$

и обозначим его, как множества целых чисел, через E_{κ}

$$E_{\kappa} = \{a_{\kappa} + m_{\kappa} q \mid q \in \mathbb{Z}\}. \quad (I.5)$$

Каждый класс E_{κ} разбивается, в силу (I.1), на M_{κ} классов вычетов по модулю M //

$$E_{\kappa} = \bigcup_{x_{\kappa}=0}^{M_{\kappa}-1} E_{\kappa x_{\kappa}}, \quad \text{где } E_{\kappa x_{\kappa}} = \{a_{\kappa} + m_{\kappa} x_{\kappa} + m_{\kappa} q \mid q \in \mathbb{Z}\}. \quad (I.6)$$

Но каждый класс E_{κ} можно в то же самое время рассматривать как множество, элементами которого служат классы $E_{\kappa x_{\kappa}}$

вычетов по модулю M , т.е.

$$E_k = \{E_{k0}, E_{k1}, \dots, E_{k, m_k - 1}\} = \{E_{kx_k} \mid x_k = 0, 1, 2, \dots, m_k - 1\}. \quad (I.7)$$

В силу (I.3) и (I.5), множество E_k (как множество целых чисел) является для любого фиксированного k ($k = 1, 2, \dots, n$) одним из m_k классов вычетов по модулю m_k ; отсюда следует, что число всех разных систем

$$(E_1, E_2, \dots, E_k, \dots, E_n) \quad (I.8)$$

равно $m_1 \cdot m_2 \dots m_k \dots m_n = M$. Рассмотрим объединения всех множеств любой системы (I.8)

$$E = \bigcup_{k=1}^n E_k. \quad (I.9)$$

Очевидно, что число всех таких объединений тоже равно M . Для любого возможного набора (I.8) объединение (I.9) является вполне определенным множеством классов вычетов по модулю M , но для разных наборов (I.8) объединения (I.9) представляют собой, вообще говоря, разные множества классов вычетов по модулю M ; поэтому возникает вопрос о числе классов вычетов, содержащихся в объединениях, точнее: одинаково ли это число для всех объединений и если да, то чему равно оно. Полный ответ на этот вопрос дает

Теорема. Число элементов объединения $\bigcup_{k=1}^n E_k$ — число различных классов вычетов по модулю M , содержащихся в этом объединении, — равно $M \left[1 - \prod_{k=1}^n \left(1 - \frac{1}{m_k} \right) \right]$, т.е.

$$T = |E| = \left| \bigcup_{k=1}^n E_k \right| = \left| \bigcup_{\substack{k=1 \\ x_k=0}}^{n \quad m_k-1} E_{kx_k} \right| = M \left[1 - \prod_{k=1}^n \left(1 - \frac{1}{m_k} \right) \right]. \quad (I.10)$$

Доказательство. Так как имеет место равенство

$$\sum_{\nu=1}^n (-1)^{\nu-1} \sum_{1 \leq \kappa_1 < \kappa_2 < \dots < \kappa_\nu \leq n} \frac{M}{m_{\kappa_1} m_{\kappa_2} \dots m_{\kappa_\nu}} = M \left[1 - \prod_{\kappa=1}^n \left(1 - \frac{1}{m_\kappa} \right) \right],$$

то достаточно установить, что

$$\left| \bigcup_{\kappa} E_\kappa \right| = \sum_{\nu=1}^n (-1)^{\nu-1} \sum_{1 \leq \kappa_1 < \kappa_2 < \dots < \kappa_\nu \leq n} \frac{M}{m_{\kappa_1} m_{\kappa_2} \dots m_{\kappa_\nu}}. \quad (I.II)$$

С этой целью применим приведенную в начале настоящей работы лемму, беря в качестве множеств E_κ множества E_κ классов вычетов по модулю M , определенные равенством (I.7). Тогда доказательство равенства (I.II) сводится к установлению следующего равенства

$$\left| E_1 \cap E_2 \cap \dots \cap E_\nu \right| = \frac{M}{m_1 m_2 \dots m_\nu} \quad (\nu = 1, 2, \dots, n). \quad (I.I2)$$

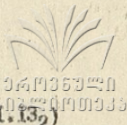
В силу (I.7) каждый элемент пересечения $E_1 \cap E_2 \cap \dots \cap E_\nu$ имеет вид

$$E_{1x_1} = E_{2x_2} = \dots = E_{\nu x_\nu} \quad (0 \leq x_\kappa \leq M_\kappa - 1, \kappa = 1, 2, \dots, \nu); \quad (I.I3)$$

в силу (I.6), последние равенства можно записать в виде следующей системы

$$m_1 x_1 + a_1 = m_2 x_2 + a_2 = m_\nu x_\nu + a_\nu \quad (0 \leq x_\kappa \leq M_\kappa - 1, \kappa = 1, 2, \dots, \nu). \quad (I.I3_1)$$

Итак, задача сводится к определению числа всех решений (x_1, x_2, \dots, x_ν) линейной системы (I.I3₁). (I.I3₁) запишется в виде системы уравнений



$$x \equiv a_1 \pmod{m_1}; x \equiv a_2 \pmod{m_2}, \dots, x \equiv a_r \pmod{m_r} \quad (I.13_2)$$

Последняя система уравнений имеет, как известно, единственное решение по модулю $m_1 m_2 \dots m_r$, т.е.

$$x \equiv x_0 \pmod{m_1 m_2 \dots m_r} \quad (x_0 = 0, 1, 2, \dots, m_1 m_2 \dots m_r - 1) \quad (I.13_3)$$

откуда

$$x = \{x_0 + m_1 m_2 \dots m_r q \mid q \in \mathbb{Z}\}. \quad (I.13_4)$$

Для любого целого числа q система уравнений

$$\begin{aligned} m_1 x_1 + a_1 &= m_2 x_2 + a_2 = \dots = m_r x_r + a_r = \\ &= x_0 + m_1 m_2 \dots m_r q \end{aligned} \quad (I.13_5)$$

имеет единственное решение

$$(x_1, x_2, \dots, x_r, q), \quad (I.13_5)$$

которое доставляет единственное решение

$$(x_1, x_2, \dots, x_r) \quad (I.13_6)$$

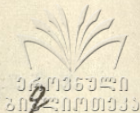
системы (I.13₁); вместе с тем очевидно, что разным значениям q соответствуют разные решения этой системы.

Итак, достаточно доказать, что среди всех решений системы (I.13₁) число всех решений, удовлетворяющих условиям

$$0 \leq x_k \leq M_k - 1, \quad k = 1, 2, \dots, r, \quad (I.14)$$

равно $\frac{M}{m_1 m_2 \dots m_r}$.

В самом деле, каждый класс (I.13₄) вычетов по модулю $m_1 m_2 \dots m_r$ разбивается на $\frac{M}{m_1 m_2 \dots m_r}$ классов вычетов по модулю



M ; все эти классы (по одному) получаются, если число заставить пробегать полную систему наименьших неотрицательных вычетов по модулю $\frac{M}{m_1 m_2 \dots m_k}$; итак, эти классы суть следующие:

$$x \equiv x_0 + m_1 m_2 \dots m_k q \pmod{M} \\ (0 \leq q \leq \frac{M}{m_1 m_2 \dots m_k} - 1) \quad (I.15)$$

или

$$x = x_0 + m_1 m_2 \dots m_k q + tM \quad (t \in \mathbb{Z}).$$

Достаточно показать, что любой класс (I.15) вычетов по модулю M содержит единственное число, доставляющее, как выше указано, единственное решение системы (I.13), удовлетворяющее условиям (I.14).

Так как решение (x_1, x_2, \dots, x_k) системы (I.13₁) однозначно определяется любым его компонентом (любым из чисел x_k), то достаточно рассмотреть уравнение

$$m_1 x_1 + a_1 = x_0 + m_1 m_2 \dots m_k q + tM; \quad (I.16)$$

ищется число решений последнего уравнения с условием $0 \leq x_1 \leq M_1 - 1$. Если $t \neq 0$, то решение уравнения (I.16) относительно x_1 лежит вне требуемых границ, если же $t = 0$, тогда уравнение (I.16) принимает вид

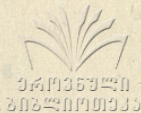
$$m_1 x_1 + a_1 = x_0 + m_1 m_2 \dots m_k q \\ (0 \leq q \leq \frac{M}{m_1 m_2 \dots m_k} - 1). \quad (I.16_1)$$

Решение последнего уравнения относительно x_1 — целое число, удовлетворяющее требуемым неравенствам.

В самом деле, в силу (I.3), (I.13₃) и (I.15), имеем $0 \leq x_0 + m_1 m_2 \dots m_k q \leq m_1 m_2 \dots m_k - 1 + M + m_1 m_2 \dots m_k = M - 1$,

откуда, в силу (I.16₁), получаем

$$0 \leq m, x_1 < M, 0 \leq x_1 < \frac{M}{m_1} = M, 0 \leq x_1 \leq M_1 - 1.$$



Итак, каждый класс вычетов по модулю $\frac{M}{m_1 m_2 \dots m_n}$ дает единственное решение уравнения (I.16₁) и, следовательно, системы (I.13), а разные классы вычетов по модулю $\frac{M}{m_1 m_2 \dots m_n}$ дают разные решения системы (I.16₁), откуда и следует, что число решений системы (I.16₁) равно $\frac{M}{m_1 m_2 \dots m_n}$ ($\lambda = 1, 2, \dots, n$). Теорема доказана.

В связи с решенной нами задачей возникают несколько новых задач, не лишенных, на наш взгляд, интереса.

1) Какова структура множества всех рациональных чисел, представимых в виде конечных сумм обратных величин попарно взаимно простых натуральных чисел;

2) Аналогичная задача для бесконечных сумм указанного выше вида;

3) Пусть $\{m_n\}_1^\infty$ — возрастающая последовательность попарно взаимно простых натуральных чисел ($m_n \geq 2$), $M_n = m_1 m_2 \dots m_n$ ($n=1, 2, \dots$), $M_{nk} = \frac{M_n}{m_k}$ ($k=1, 2, \dots, n$); тогда для любого фиксированного n ($n \geq 2$) можно рассмотреть решенную выше задачу; соответствующие объединения и число их элементов будут зависеть от n ; для любого фиксированного n будем иметь

$$|E_{n1} \cup E_{n2} \cup \dots \cup E_{nn}| = M_n \left[1 - \prod_{k=1}^n \left(1 - \frac{1}{m_k} \right) \right] = T_n.$$

Возникает задача об асимптотическом поведении этого числа T_n ; ясно, что если $\prod_{k=1}^n \left(1 - \frac{1}{m_k} \right)$ сходится к некоторому числу a ($a \neq 0$), то $\lim_{n \rightarrow \infty} \frac{M_n}{T_n} = \frac{1}{1-a}$ ($0 < a < 1$); если это произведение расходится (стремится к нулю), то $\lim_{n \rightarrow \infty} \frac{M_n}{T_n} = 1$ ($M_n \sim T_n$).

Из доказанной теоремы получается

Следствие. Число классов объединения меньше M , т.е. объединение не исчерпывает всех классов вычетов по модулю M ;

в самом деле

$$M - T = M - M \left[\prod_{k=1}^n \left(1 - \frac{1}{m_k} \right) \right] = \prod_{k=1}^n (m_k - 1) > 0.$$

(Поступило 1.ХН.1975)

Кафедра высшей математики
инженерно-экономического
факультета

ЛИТЕРАТУРА

1. И.М.Виноградов, Основы теории чисел, М., "Наука", 1972.

Հ. Յուրոտինոս

Վաճառքի չլսածներն անարժեքներն են

հ յ ճ ո շ Յ յ

Վաճառքի չլսածներն անարժեքներն են հարցը-հարցվաքը քրեանքի
մահիցը մեքընի աղքատը Վաճառքի չլսածներն անարժեքներն են
հոգիներն իցնանքը.

P. Kogonia

ON UNIFICATIONS OF CLASSES OF
SUBTRACTIONS

Summary

The paper is devoted to the proof of the theorem on the number of classes of subtractions of unifications of the classes of subtractions taken in pairwise reciprocally simple modules.

О ПРЕДСТАВЛЕНИИ ЧИСЕЛ КВАДРАТИЧНЫМИ ФОРМАМИ

ТИПА $(-4, q, 1)$

Р.Ш.Гонгадзе

§ 1. В [3] получены формулы для числа представлений натуральных чисел квадратичными формами типа $(-4, 17, 1)$ в случае, когда представимое число взаимнопросто с 17. В настоящей статье способом, использованным в работе [2], мы находим формулы для числа представлений любых натуральных чисел квадратичными формами типа $(-4, q, 1)$ при $q = 5, 7, 11$.

Следуя Э.Гекке [1], пусть

$$Q(x) = Q(x_1, x_2, \dots, x_f) = \sum_{1 \leq r \leq s \leq f} b_{rs} x_r x_s$$

- положительная квадратичная форма от f (f - четное) переменных с целыми коэффициентами b_{rs} ; далее, пусть D - определитель квадратичной формы

$$2Q(x) = \sum_{r, s=1}^f a_{rs} x_r x_s \quad (a_{rs} = 2b_{rs}; a_{rs} = a_{sr} = b_{rs}, r < s);$$

A_{rs} - алгебраические дополнения элементов a_{rs} в D ; Δ , N и $\epsilon(n)$, соответственно, обозначают дискриминант, степень и характер формы $Q(x)$.

Пусть, наконец, $\mathcal{P}_\nu(x) = \mathcal{P}_\nu(x_1, x_2, \dots, x_f)$ шаровая функция

ν -го порядка относительно квадратичной формы $Q(x)$.

В дальнейшем мы будем пользоваться следующими результатами

Э.Гекке:

Лемма I ([1], стр. 853). Среди однородных квадратичных полиномов

$$Y_{rs} = x_r x_s - \frac{1}{f} \frac{A_{rs}}{D} 2Q(x) \quad (r, s = 1, 2, \dots, f)$$

от f переменных имеется точное
 $\frac{f(f+1)}{2} - 1$ линейных независимых образующих базис (и проантанта ша-
 ровных функций в базисе) порядка от
 носительство квадратичной формы $Q(x)$

Лемма 2 (I/1, стр. 855). Пусть $Q(x)$ — квадратичная форма, $P(x)$ — полином, $g(x)$ — многочлен, $\sum_{n=0}^{\infty} P_n(x) g(x)$ — ряд Фурье. Тогда $Q(x)$ является параболической модулярной формой типа $(-\frac{f}{2}, N, E(d))$.
 $(z = \exp 2\pi i \tau, \text{Im} \tau > 0)$.

Всюду в дальнейшем полагаем:

$$f = 4, \quad \nu = 2$$

Лемма 3 (I/1, стр. 817 и 874). Пусть g — нечетное простое число, ν — положительная примитивная форма вида $(-k, g, 1)$. Тогда $\frac{g}{k}$ — дискриминант формы $F = g, (f, 3)$.
 Далее, если $k > 2$, то квадратичная форма F соответствует ряду Эйзенштейна

$$E(k, g) = \sum_{n=1}^{\infty} (\alpha_{k-1}(n))^2 \beta_{k-1}(n) \quad (I.1)$$

где $\alpha_{k-1}(n) = \sum_{d|n} d^{k-1} \chi(d)$, $\beta_{k-1}(n) = \sum_{d|n} d^{k-1} \chi(d)$ (Лемма I)

$$\alpha = \frac{1}{P_k} \frac{g^{k-1} - 1}{g^{k-1} - 1}, \quad \beta = \frac{1}{P_k} \frac{g^{k-1} - 1}{g^{k-1} - 1} \quad (I.2)$$

$$P_k = (-1)^{\frac{k-1}{2}} \frac{(k-1)!}{(2\pi)^k} j(k), \quad \beta_{k-1}(n) = \sum_{d|n} d^{k-1} \chi(d) \quad (I.3)$$



Известно, что всякой квадратичной форме F соответствует

тета-ряд (S.S)
$$\theta(\tau, F) = 1 + \sum_{n=1}^{\infty} z(n, F) z^{-n}, \quad x = z^{-1} \quad (1.4)$$

где $z(n, F)$ обозначает число представлений натурального числа n формой F .

Лемма 4 (M/I, стр. 874-875). Пусть $2/k$, $k > 2$, q — простое число, F — положительная неприведенная квадратичная форма типа $(-k, q, 1)$. Тогда разность

будет параболической (формой) типа $(-k, q, 1)$.

Лемма 5 (M/I, стр. 846). Если $Q_1(x)$ и $Q_2(x)$ имеют одну и ту же степень N и характеры, соответственно, $\epsilon_1(n)$ и $\epsilon_2(n)$, то форма $Q = Q_1(x) + Q_2(x)$ будет иметь степень N и характер $\epsilon_1(n)\epsilon_2(n)$.

Из (1.1) и (1.3), при $k = 4$, следует

$$\rho_4 = \frac{1}{240}, \quad \alpha = 240 \frac{q^{4l} - 1}{q^4 - 1}, \quad \beta = 240 \frac{q^{4l} - q^{4l-1}}{q^4 - 1}$$

$$E(\tau, F) = 1 + \sum_{n=1}^{\infty} \left\{ (q^{4l} - 1) \epsilon_3(n) z^n + (q^4 - q^{4l-1}) \epsilon_3(n) z^{2n} \right\} \quad (1.5)$$

§ 2. В настоящем параграфе рассматриваются квадратичные формы типа $(-4, 5, 1)$.

(1.5) В работе [2] показано, что форма

$$Q_1 = x_1^2 + x_2^2 + 2x_3^2 + 2x_4^2 + x_1x_2 + x_1x_3 + x_1x_4 + 2x_2x_3 + 2x_2x_4 + 2x_3x_4 \quad (2.1)$$

является квадратичной формой типа $(-2, 5, 1)$ и что для нее $\Delta =$

$D = 25$, $A_{11} = 20$. Следовательно, согласно лемме I, получа-

ем

$$\varphi_{11} = x_1^2 - \frac{20}{4 \cdot 25} 2Q_1 = x_1^2 - \frac{2}{5} Q_1. \quad (2.2)$$

Лемма 6. Тэта-ряд

$$\vartheta(\tau, \varphi_{11}, Q_1) = \frac{1}{5} \sum_{n=1}^{\infty} \left(\sum_{n=Q_1} 5x_1^2 - 2n \right) x^n = \frac{2}{5} x + \dots, \quad (2.3)$$

где Q_1 и φ_{11} определены формулами (2.1) и (2.2), является базисом пространства параболических форм типа $(-4, 5, 1)$.

Доказательство. Пропедевывая простые вычисления при помощи решений уравнения (1.8) из [2] (стр. 149), убеждаемся в справедливости разложения (2.3). Далее, так как тэта-ряд (2.3) тождественно не исчезает, то он линейно независим. Следовательно, согласно лемме 4, утверждаемое справедливо, ибо известно ([1], стр. 89), что максимальное число линейно независимых параболических форм типа $(-4, 5, 1)$ равно 1.

Теорема I. Пусть

$$\begin{aligned} \mathcal{F}_1 = & x_1^2 + x_2^2 + 2x_3^2 + 2x_4^2 + x_5x_6 + x_7x_8 + x_9x_{10} + x_{11}x_{12} + 2x_{13}x_{14} + \dots \\ & + x_{15}^2 + x_{16}^2 + 2x_{17}^2 + 2x_{18}^2 + x_{19}x_{20} + x_{21}x_{22} + x_{23}x_{24} + x_{25}x_{26} + 2x_{27}x_{28}. \end{aligned} \quad (2.4)$$

Тогда

$$\kappa(n, \mathcal{F}_1) = \frac{120}{19} 6_3^*(n) + \frac{9}{26} \sum_{n=Q_1} (5x_1^2 - 2n),$$

где

$$6_3^*(n) = \begin{cases} 6_3(n) & \text{при } 5 \nmid n, \\ 6_3(n) + 25 6_3\left(\frac{n}{5}\right) & \text{при } 5 \mid n \end{cases}$$

Доказательство. Согласно лемме 5, приняв во внимание (2.1), для \mathcal{F}_1 получим: $\kappa = 4$, $D = 25^2$, $\Delta = 5^4$, $\ell = 2$, $N = q =$

= 5, $E(n) = 1$, т.е. F_1 является примитивной квадратичной формой типа $(-4, 5, 1)$.

В работе [2] показано, что

$$\mathcal{D}(\tau, Q_1) = 1 + \sum_{n=1}^{\infty} 2(n, Q_1) x^n = 1 + 6x + \dots$$

Таким образом, согласно (2.4) и (2.1), имеем

$$\mathcal{D}(\tau, F_1) = \mathcal{D}^2(\tau, Q_1) = 1 + 12x + \dots \quad (2.5)$$

Из (1.5), при $q = 5$ и $\ell = 2$, следует

$$E(\tau, F_1) = 1 + \frac{120}{13} \sum_{n=1}^{\infty} (6_2(n) x^n + 256_3(n) x^{5n}) = 1 + \frac{120}{13} x + \dots \quad (2.6)$$

Согласно лемме 4, разность $\mathcal{D}(\tau, F_1) - E(\tau, F_1)$ является параболической формой типа $(-4, 5, 1)$. Следовательно, согласно лемме 6, существует такое число C , что

$$\mathcal{D}(\tau, F_1) - E(\tau, F_1) = C \mathcal{D}(\tau, \varphi_n, \psi_1).$$

Приравнявая коэффициенты при x в обеих частях этого равенства и принимая во внимание (2.5), (2.6) и (2.3), получаем, что $C = \frac{45}{26}$. Таким образом, доказано тождество

$$\mathcal{D}(\tau, F_1) = E(\tau, F_1) + \frac{45}{26} \mathcal{D}(\tau, \varphi_n, \psi_1). \quad (2.7)$$

Приравнявая коэффициенты при x^n в обеих частях тождества (2.7) и принимая во внимание (1.4), (2.6) и (2.3), получаем утверждаемое.

Теорема 2. Пусть

$$F_2 = x_1^2 + x_2^2 + x_3^2 + x_4^2 + x_1 x_2 + x_1 x_3 + x_2 x_4 + x_3^2 + x_6^2 + x_7^2 + x_8^2 + x_5 x_6 + x_5 x_7 + x_6 x_8. \quad (2.8)$$

Тогда

$$2(n, F_2) = \frac{20}{13} 6_3^*(n) - \frac{25}{26} \sum_{n=0}^{\infty} (5x_1^2 - 2n),$$

где

$$b_3^*(n) = \begin{cases} 316_3(n) & \text{при } 5 \nmid n \\ 316_3(n) + 1256_3\left(\frac{n}{5}\right) & \text{при } 5 \mid n \end{cases}$$

Доказательство. В работе [2] показано, что форма

$$\tilde{Q}_1 = x_1^2 + x_2^2 + x_3^2 + x_4^2 + x_1x_2 + x_1x_3 + x_1x_4 \quad (2.9)$$

является квадратичной формой типа $(-2, 5, (\frac{1}{2}))$ и что для нее

$\Delta_1 = D = 25$. В работе [2] также показано, что

$$\mathcal{V}(\tau, \tilde{Q}_1) = 1 + 20\tau + \dots \quad (2.10)$$

Согласно лемме 5, приняв во внимание (2.9) для F_2 получим: $K = 4$, $D = 5^2$, $\Delta = 5^2$, $N = 9$, $\ell = 1$,

$E(n) = 1$, т.е. F_2 является примитивной квадратичной формой типа $(-4, 5, 1)$.

Согласно (2.8) и (2.10), имеем

$$\mathcal{V}(\tau, F_2) = \mathcal{V}^2(\tau, \tilde{Q}_1) = 1 + 40\tau + \dots \quad (2.11)$$

Из (1.5), при $q = 5$ и $\ell = 1$, следует

$$E(\tau, F_2) = 1 + \frac{20}{13} \sum_{n=1}^{\infty} (316_3(n)\tau^n + 1256_3(n)\tau^{5n}) = 1 + \frac{620}{13}\tau + \dots \quad (2.12)$$

Далее, рассуждая так же, как и в теореме I, получаем тождество

$$\mathcal{V}(\tau, F_2) = E(\tau, F_2) - \frac{125}{26} \mathcal{V}(\tau, \varphi_n, Q_1),$$

откуда следует утверждаемое.

§ 3. В настоящем параграфе рассматриваются квадратичные формы типа $(-4, 7, 1)$.

В работе [2] показано, что форма

$$Q_2 = x_1^2 + x_2^2 + 2x_3^2 + 2x_4^2 + x_1x_3 + x_2x_4 \quad (3.1)$$

является квадратичной формой типа $(-2, 7, 1)$ и что для нее:

$$\Delta = D = 49, A_{11} = 28. \text{ Следовательно, согласно лемме 2,}$$

получаем

$$Y_{11} = x_1^2 - \frac{28}{4 \cdot 49} 2Q_2 = x_1^2 - \frac{2}{7} Q_2 \quad (3.2)$$

Лемма 7. Тета-ряд

$$\vartheta(\tau, Y_{11}, Q_2) = \frac{1}{7} \sum_{n=1}^{\infty} \left(\sum_{n=Q_2} 7x_1^2 - 2n \right) x^2 = \frac{6}{7} x + \dots, \quad (3.3)$$

где Q_2 и Y_{11} , определены формулами (3.1) и (3.2), является базисом пространства параболических форм типа $(-4, 7, 1)$.

Доказательство. Прodelывая простые вычисления при помощи решений уравнения (1.14) из /2/ (стр. 150), убеждаемся в справедливости разложения (3.3). Далее, так как тета-ряд (3.3) тождественно не исчезает, то он линейно независим. Следовательно, согласно лемме 2, утверждаемое справедливо, ибо известно (/1/, стр. 899), что максимальное число линейно независимых параболических форм типа $(-4, 7, 1)$ равно 1.

Теорема 3. Пусть

$$F_3 = x_1^2 + x_2^2 + 2x_3^2 + 2x_4^2 + x_1 x_3 + x_2 x_4 + x_5^2 + x_6^2 + 2x_7^2 + 2x_8^2 + x_5 x_7 + x_6 x_8. \quad (3.4)$$

Тогда

$$\chi(n, F_3) = \frac{24}{5} \zeta_3^*(n) + \frac{8}{15} \sum_{n=Q_2} (7x_1^2 - 2n),$$

где

$$\zeta_3^*(n) = \begin{cases} \zeta_3(n) & \text{при } 7 \nmid n, \\ \zeta_3(n) + 49\zeta_3\left(\frac{n}{7}\right) & \text{при } 7 \mid n. \end{cases}$$

Доказательство. Согласно лемме 5, приняв во внимание

(3.1), для \mathcal{F}_3 получим $\kappa = 4$, $D = 49^2$, Δ является примитивной квадратичной формой типа $(-4, 7, 1)$. В /2/ (стр. 158) показано, что

$$\mathcal{D}(\tau, \mathcal{F}_3) = 1 + 4z + \dots$$

Таким образом, согласно (3.4) и (3.1), имеем

$$\mathcal{D}(\tau, \mathcal{F}_3) = \mathcal{D}^2(\tau, Q_2) = 1 + 8z + \dots \quad (3.5)$$

Из (1.5), при $q = 7$ и $\ell = 2$, следует

$$E(\tau, \mathcal{F}_3) = 1 + \frac{24}{5} \sum_{n=1}^{\infty} (6_3(n)z^{7n} + 496_3(n)z^{7n}) = 1 + \frac{24}{5}z + \dots \quad (3.6)$$

Далее, рассуждая так же, как и в теореме I, получаем тождество

$$\mathcal{D}(\tau, \mathcal{F}_3) = E(\tau, \mathcal{F}_3) + \frac{56}{15} \mathcal{D}(\tau, \mathcal{U}_n, Q_2),$$

откуда следует утверждаемое.

§ 4. В настоящем параграфе рассматриваются квадратичные формы типа $(-4, II, I)$.

Э.Гекке (/1/, стр. 901) показал, что существуют три приведенные квадратичные формы дискриминанта 121 и степени II :

$$Q_3 = x_1^2 + x_1x_2 + 3x_2^2 + x_3^2 + x_3x_4 + x_4^2, \quad (4.1)$$

$$\tilde{Q}_3 = 2x_1^2 + 2x_2^2 + 2x_3^2 + 2x_4^2 + 2x_1x_3 + x_1x_4 + x_2x_3 - 2x_2x_4, \quad (4.2)$$

$$Q_3^* = x_1^2 + 4x_2^2 + 4x_3^2 + 4x_4^2 + x_1x_3 + 4x_2x_3 + 3x_3x_4 + 7x_3x_4, \quad (4.3)$$

и что

$$\mathcal{D}(\tau, Q_3) = 1 + 4z + 4z^2 + \dots, \quad (4.4)$$

$$\mathcal{D}(\tau, \tilde{Q}_3) = 1 + 0z + 12z^2 + \dots, \quad (4.5)$$

$$\mathcal{D}(\tau, Q_3^*) = 1 + 6z + 0z^2 + \dots \quad (4.6)$$

Формы Q_3 и \tilde{Q}_3 являются квадратичными формами типа $(-2, II, I)$; далее $D = 12I$, $A_{II} = 66$ в случае формы Q_3 , и $D = 12I$, $A_{II} = 44$ в случае формы \tilde{Q}_3 . Следовательно, согласно лемме I, получаем

$$Y_{II} = x_1^2 - \frac{3}{11} Q_3, \quad \tilde{Y}_{II} = x_1^2 - \frac{2}{11} \tilde{Q}_3. \quad (4.7)$$

Лемма 8. Система тета-рядов

$$\vartheta(\tau, Y_{II}, Q_3) = \frac{1}{11} \sum_{n=1}^{\infty} \left(\sum_{n=Q_3} 11x_1^2 - 3n \right) x^n = \frac{10}{11} x + \frac{20}{11} x^2 + \dots, \quad (4.8)$$

$$\vartheta(\tau, \tilde{Y}_{II}, \tilde{Q}_3) = \frac{1}{11} \sum_{n=1}^{\infty} \left(\sum_{n=\tilde{Q}_3} 11x_1^2 - 2n \right) x^n = -\frac{4}{11} x^2 + \dots, \quad (4.9)$$

где Q_3 , \tilde{Q}_3 , Y_{II} и \tilde{Y}_{II} определены формулами (4.1), (4.2) и (4.7), является базисом пространства параболических форм типа $(-4, II, I)$.

Доказательство. Пропедевывая простые вычисления, при помощи решений уравнений (1.23) и (1.25) из [2] (стр. 152 и 153), убеждаемся в справедливости разложений (4.8) и (4.9). Далее, так как определитель

$$\begin{vmatrix} \frac{10}{11} & \frac{20}{11} \\ 0 & -\frac{4}{11} \end{vmatrix} \neq 0,$$

то тета-ряды (4.8) и (4.9) линейно независимы. Следовательно, согласно лемме 8, утверждаемое справедливо, ибо известно ([1], стр. 899), что максимальное число линейно независимых параболических форм типа $(-4, II, I)$ равно 2.

Перейдем к нахождению формул для числа представлений чисел формами:

$$\begin{aligned} T_4 = & x_1^2 + x_1 x_2 + x_2^2 + 3x_2^2 + x_3^2 + x_3 x_4 + 3x_4^2 + x_5^2 + \\ & + x_5 x_6 + 3x_6^2 + x_7^2 + x_7 x_8 + 3x_8^2, \end{aligned} \quad (4.10)$$



$$F_5 = x_1^2 + x_2 + 3x_2^2 + x_3^2 + x_3x_4 + 3x_4^2 + 2x_5^2 + 2x_6^2 + 2x_7^2 + 2x_8^2 + 2x_4^2 + 2x_8^2 + 2x_5x_7 + x_5x_8 + x_6x_7 - 2x_6x_8,$$

$$F_6 = 2x_1^2 + 2x_2^2 + 2x_3^2 + 2x_4^2 + 2x_5x_3 + x_5x_4 + x_2x_3 - 2x_2x_4 + 2x_5^2 + 2x_6^2 + 2x_7^2 + 2x_8^2 + 2x_5x_7 + x_5x_8 + x_6x_7 - 2x_6x_8,$$

$$F_7 = x_1^2 + x_2 + 3x_2^2 + x_3^2 + x_3x_4 + 3x_4^2 + x_5^2 + 4x_6^2 + 4x_7^2 + 4x_8^2 + x_5x_4 + 4x_6x_7 + 3x_6x_8 + 7x_7x_8,$$

$$F_8 = 2x_1^2 + 2x_2^2 + 2x_3^2 + 2x_4^2 + 2x_5x_3 + x_5x_4 + x_2x_3 - 2x_2x_4 + x_5^2 + 4x_6^2 + 4x_7^2 + 4x_8^2 + x_5x_7 + 4x_6x_7 + 3x_6x_8 + 7x_7x_8,$$

$$F_9 = x_1^2 + 4x_2^2 + 4x_3^2 + 4x_4^2 + x_5x_3 + 4x_2x_3 + 3x_2x_4 + 7x_3x_4 + x_5^2 + 4x_6^2 + 4x_7^2 + 4x_8^2 + x_5x_7 + 4x_6x_7 + 3x_6x_8 + 7x_7x_8.$$

Теорема 4.

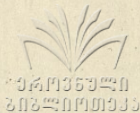
$$\chi(n, F_4) = \frac{120}{61} 6_3^*(n) + \frac{184}{305} \omega_1(n) + \frac{88}{61} \omega_2(n),$$

$$\chi(n, F_5) = \frac{120}{61} 6_3^*(n) + \frac{62}{305} \omega_1(n) + \frac{992}{61} \omega_2(n),$$

$$\chi(n, F_6) = \frac{120}{61} 6_3^*(n) + \frac{12}{61} \omega_1(n) + \frac{156}{61} \omega_2(n),$$

$$\chi(n, F_7) = \frac{120}{61} 6_3^*(n) + \frac{49}{61} \omega_1(n) + \frac{88}{61} \omega_2(n),$$

$$\chi(n, F_8) = \frac{120}{61} 6_3^*(n) + \frac{123}{305} \omega_1(n) + \frac{210}{61} \omega_2(n),$$



$$\tau(n, \mathcal{F}_9) = \frac{120}{61} \mathcal{G}_3^*(n) + \frac{306}{305} \omega_1(n) + \frac{24}{61} \omega_2(n),$$

где

$$\mathcal{G}_3^*(n) = \begin{cases} \mathcal{G}_3(n) & \text{при } 11 \nmid n, \\ \mathcal{G}_3(n) + 121 \mathcal{G}_3\left(\frac{n}{11}\right) & \text{при } 11 \mid n, \end{cases}$$

$$\omega_1(n) = \sum_{n=\mathcal{Q}_3} 11x_1^2 - 3n, \quad \omega_2(n) = \sum_{n=\mathcal{Q}_3} 11x_1^2 - 2n.$$

Доказательство. Согласно лемме 5, приняв во внимание (4.1), для \mathcal{F}_4 получим: $\kappa = 4$, $\Delta = \mathcal{D} = \Pi^4$, $\ell = 2$, $N = q = \Pi$, $\mathcal{E}(n) = 1$, т.е. \mathcal{F}_4 является примитивной квадратичной формой типа $(-4, \Pi, 1)$.

Согласно (4.10), (4.1) и (4.4), имеем

$$\mathcal{D}(\tau, \mathcal{F}_4) = \mathcal{D}^2(\tau, \mathcal{Q}_3) = 1 + 8z + 24z^2 + \dots \quad (4.11)$$

Из (1.5) при $q = \Pi$ и $\ell = 2$, следует

$$\begin{aligned} E = (\tau, \mathcal{F}_4) &= 1 + \frac{120}{61} \sum_{n=1}^{\infty} \mathcal{G}_3(n) z^n + 121 \mathcal{G}_3(n) z^{11n} = \\ &= 1 + \frac{120}{61} z + \frac{1080}{61} z^2 + \dots \end{aligned} \quad (4.12)$$

Согласно лемме 4, разность $\mathcal{D}(\tau, \mathcal{F}_4) - E(\tau, \mathcal{F}_4)$ является параболической формой типа $(-4, \Pi, 1)$. Следовательно, в силу

леммы 6, существуют такие числа C_1 и C_2 , что

$$\mathcal{D}(\tau, \mathcal{F}_4) - E(\tau, \mathcal{F}_4) = C_1 \mathcal{D}(\tau, \mathcal{F}_n, \mathcal{Q}_2) + C_2 \mathcal{D}(\tau, \tilde{\mathcal{F}}_n, \tilde{\mathcal{Q}}_3).$$

Приравнивая коэффициенты при z и z^2 в обеих частях этого равенства и принимая во внимание (4.8), (4.9), (4.11) и (4.12),

получаем $C_1 = \frac{2024}{305}$, $C_2 = \frac{968}{61}$. Таким образом, доказано тождество



$$\mathcal{J}(z, F_4) = E(z, F_4) + \frac{2024}{305} \mathcal{J}(z, F_4, Q_3) + \frac{968}{61} \mathcal{J}(z, \tilde{F}_4, \tilde{Q}_3),$$

откуда следует формула для $\mathcal{Z}(n, F_4)$.

Аналогично выводятся формулы и для $\mathcal{Z}(n, F_i) (i=5, 6, 7, 8, 9)$.

(Поступило 11.01.1975)

Кафедра
высшей математики
физического факультета

ЛИТЕРАТУРА

1. E. Hecke, *Mathematische Werke*, Göttingen, 1959.
2. Г.А. Ломадзе, Труды Тбилисского математического института АН СССР, 45, 1974, 146-161.
3. А. Сагинтаев, Известия АН Уз.ССР, 6, 1971, 31-34.

რ. ლომიდაძე

მოსახლას ხანძარსა და სხვაში /-4, 9, 1 / ტიპის

კვანძოების ფორმული

რ ვ ბ ი ვ ბ ვ

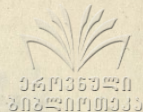
წინამდებარე ნაშრომში აკვებულა /-4, 9, 1 / ტიპის უარა-
ბედიანი ფორმული სივრცის ბაზისი, როცა $q = 5, 7, 11$. მეორე, ნაკლები
უარაბედიანი ფორმულის სამუდამო მიღებულა ფორმული ნაკლებადი რი-
ცების წარმოდგენა რაოდენობისათვის /-4, 9, 1 / ტიპის მრავალრიცხოვანი
ფორმული ფორმული, როცა $q = 5, 7, 11$.

R. Gongadze

ON THE REPRESENTATION OF NUMBERS BY
QUADRATIC FORMS OF TYPE $(-4, q, 1)$

Summary

A basis of the space of cusp forms of type $(-4, q, 1)$ is constructed. Then formulae are given for the number of representations of integers by certain quadratic forms of type $(-4, q, 1)$ when $q=5, 7, 11$.



ОПИСАНИЕ СПЕЦИАЛЬНЫХ РАДИКАЛОВ В СПЛЕТЕННЫХ
НАДНИЛЬПОТЕНТНЫХ ГРУППАХ

А. С. Хехутаишвили

Приведем некоторые определения и обозначения, в основном из [1-4]. Если \mathcal{K} - произвольный класс групп, тогда $\tilde{R}\mathcal{K}$ - класс всех групп, которые порождаются своими субинвариантными \mathcal{K} -подгруппами, $R\mathcal{K}$ - класс всех групп, которые порождаются всеми своими инвариантными \mathcal{K} -подгруппами, $\theta\mathcal{K}$ - класс всех групп, являющихся гомоморфными образами групп из класса \mathcal{K} , $I\mathcal{K}$ - класс всех групп, являющихся нормальными делителями группы из класса \mathcal{K} . Класс групп \mathcal{K} называется специальным радикальным классом, если $\{\tilde{R}, \theta, I\}\mathcal{K} = \mathcal{K}$. Обозначим его через $\mathcal{F} = \{\tilde{R}, \theta, I\}$, $\mathcal{F}^* = \{\tilde{R}, \theta, I\}$. Класс беровских и наднильпотентных групп обозначим соответственно через B и B^* . Известно, что $\mathcal{F}B = B$ и $\mathcal{F}^*B = B^*$. Через S_G^* обозначим систему всех специальных радикалов группы G . Группы θ^* и $\bar{\theta}^*$ понимаются в смысле [1].

ТЕОРЕМА I. Пусть A - наднильпотентная θ^* -группа, B - наднильпотентная группа, $G = A \wr B$, : тогда

$$S_G^* = \{A^B, A^B \lambda B_0, \text{ где } A_0 \in S_A^*, B_0 \in S_B^*\}.$$

Доказательству теоремы предположим леммы. Группы A и B называются радикально-эквивалентными (обозначается $A \sim B$), если $\mathcal{F}^*[A] = \mathcal{F}^*[B]$.

Лемма I. Пусть $G = A \wr B = A^B \lambda B$, A - произвольная группа, B обладает ло-

кально-конечной периодической частью, B_1 и B_2 - конечные p -группы в B . Тогда

$$A^B \lambda B_1 = A^B \lambda B_1 \sim A^B \lambda B_2 = A^B \lambda B_2.$$

(Здесь B_1 и B_2 действуют в B правым регулярным образом /1/).

Пусть $B_0 = \{B_1, B_2\}$, B_0 - конечная подгруппа в B . Если X - некоторая система представителей смежных классов в B по B_0 , то $A^B \lambda B_0 = (A^X)^{B_0} \lambda B_0 = A^X \lambda B_0$. Если $A^X = A_1$, то $A^B \lambda B_0 = A_1 \lambda B_0$. Рассматривая B_1 и B_2 как правые регулярные группы подстановок в B_0 и используя лемму 4 из /4/, имеем

$$\begin{aligned} A^B \lambda B_1 &= (A^X)^{B_0} \lambda B_1 = A_1^{B_0} \lambda B_1 = \\ &= A_1 \lambda B_1 \sim A_1 \lambda B_2 = A_1 \lambda B_2 = A^B \lambda B_2. \end{aligned}$$

Лемма 2. Пусть \mathfrak{K} - специальный радикальный класс групп, A и B - наднильпотентные группы, $G = A \lambda B$. Тогда, если $\mathfrak{K}(G) = A^B \lambda B_0$, то $B_0 \in \mathcal{S}_B^*$.

Доказательство. Через B_λ^* , где λ - некоторое множество простых чисел, будем обозначать класс всех наднильпотентных λ -групп. Так как B - наднильпотентная группа, то специальными радикалами в ней могут быть только подгруппы вида $B_\lambda^*(B)$ и, кроме того (если B - непериодическая), сама группа B . Поэтому нам достаточно показать, что если в B_0 содержится циклическая подгруппа порядка p , то в B_0 содержится все циклические p -подгруппы B , а если в B_0 содержится бесконечная циклическая подгруппа, то все бесконечные циклические подгруппы из B лежат в B_0 .

Пусть B_1 — циклическая подгруппа порядка p из B_0 и B_2 — циклическая p -подгруппа группы B . Так как $B_1 \cong B_0$, то $A^B \lambda B_1 \cong A^B \lambda B_0 \in \mathfrak{X}$, откуда $A^B \lambda B_1 \in \mathfrak{X}$. Применяя лемму I, получаем, что $A^B \lambda B_1 \sim A^B \lambda B_2$, откуда $A^B \lambda B_2 \in \mathfrak{X}$. Так как $A^B \lambda B_2 \cong G$, а $\mathfrak{X}(G)$ порождается всеми субинвариантными \mathfrak{X} -подгруппами G , то $A^B \lambda B_2 \subset A^B \lambda B_0$, т.е. $B_2 \subset B_0$.

Пусть теперь B_1 — бесконечная циклическая подгруппа из B_0 и B_2 — произвольная бесконечная циклическая подгруппа в B . Обозначим $B_3 = \{B_1, B_2\}$. Допустим вначале, что B_1 имеет конечный индекс в B , и пусть \bar{B}_1 — нормальный делитель конечного индекса в B_3 , принадлежащий B_1 . Учитывая изоморфизм $B_2 \bar{B}_1 / \bar{B}_1 \approx B_2 / B_2 \cap \bar{B}_1$, видим, что $B_2 \cap \bar{B}_1$ имеет конечный индекс в B_2 . Следовательно, $B_2 \cap \bar{B}_1 \neq \{e\}$, а значит указанное пересечение имеет конечный индекс и в B_3 . Отсюда следует, что вместе с B_1 и B_2 имеет конечный индекс в B_3 .

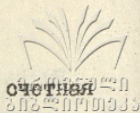
Пусть, далее, \mathfrak{X} — некоторая полная система представителей в B по B_3 , \mathfrak{X}_1 — соответствующая система в B_3 по B_1 и \mathfrak{X}_2 — в B_3 по B_2 . \mathfrak{X}_1 и \mathfrak{X}_2 — конечные множества. Теперь, используя леммы I и 4 из /4/, имеем

$$A^B \lambda B_3 = (A^{\mathfrak{X}})^{B_3} \lambda B_3 = A_1 w \lambda B_3, \text{ где } A_1 = A^{\mathfrak{X}},$$

$$A^B \lambda B_1 = A_1^{B_3} \lambda B_1 = (A_1^{B_3})^{\mathfrak{X}_1} \lambda B_1 \sim (A_1^{B_3} \lambda B_1)^{\mathfrak{X}_1} \sim A_1 w \lambda B_1.$$

Аналогично $A^B \lambda B_2 \sim A_1 w \lambda B_2$. Теперь из $A_1 w \lambda B_1 \sim A_1 w \lambda B_2$ следует $A^B \lambda B_1 \sim A^B \lambda B_2$.

Так как обе эти подгруппы субинвариантны в $A w \lambda B$, то вместе с $A^B \lambda B_1$ в $\mathfrak{X}(A w \lambda B)$ лежит и $A^B \lambda B_2$. Но тогда $B_2 \subset B_1$. Пусть, далее, B_1 имеет в B_3 бесконечный индекс. Тогда, в силу сказанного выше и B_2 имеет бесконечный индекс в B_3 . Вводим, как и раньше, системы представителей



смежных классов X , X_1 и X_3 . Так как B_3 - счетная группа, то X_1 и X_2 счетны. Теперь имеем

$$A^B \lambda B_1 = (A^X)^{B_3} \lambda B_1 = A_1^{B_3} \lambda B_1 = (A_1^{X_1}) w_2 B_1,$$

$$A^B \lambda B_2 = (A^X)^{B_3} \lambda B_2 = A_1^{B_3} \lambda B_2 = (A_1^{X_2}) w_2 B_2.$$

Так как $A_1^{X_1} \approx A_1^{X_2}$ и $B_1 \approx B_2$, то $(A_1^{X_1}) w_2 B_1 \approx (A_1^{X_2}) w_2 B_2$, а отсюда $A_1^{B_3} \lambda B_1 \approx A_1^{B_3} \lambda B_2$. Как и раньше, заключаем: $B_2 \subset B_0$. Итак, в B_0 лежит каждая бесконечная циклическая подгруппа из B . Если учтем лемму 6 из /4/, получим, что $B_0 = B$.

Показательство теоремы I. Покажем сначала, что если $\mathfrak{X}(G)$ специальный радикал в G , то $\mathfrak{X}(G)$ совпадает с одним из радикалов из формулировки теоремы. Если $\mathfrak{X}(A) = A_0 \triangleleft A$, то по лемме I из /5/ $\mathfrak{X}(G) = \mathfrak{X}(A)^B = A_0^B$. Если же $\mathfrak{X}(A) = A$, то $\mathfrak{X}(G) \supset A^B$, откуда $\mathfrak{X}(G) = A^B \lambda B_0$, где $B_0 \subset B$. По лемме 2 $B_0 \in \mathcal{S}_B^*$, что и требовалось доказать.

С другой стороны, покажем, что для произвольных подгрупп $A_0 \in \mathcal{S}_A^*$, $B_0 \in \mathcal{S}_B^*$ существует специальные радикалы \mathfrak{X}_1 и \mathfrak{X}_2 , для которых $\mathfrak{X}_1(G) = A_0^B$, $\mathfrak{X}_2(G) = A^B \lambda B_0$.

Пусть $A_0 \subset A$. Тогда положим $\mathfrak{X}_1 = \mathcal{F}^*[A_0][[A_0]]$ - есть класс подгрупп, состоящих из группы изоморфных A . Тогда $\mathfrak{X}_1(A w_2 B) = \mathfrak{X}_1(A)^B = A_0^B$ (см. /5/, лемма I).

Пусть $A_0 \triangleleft A$. Тогда в качестве \mathfrak{X}_2 возьмем класс B^* всех наднильпотентных групп и покажем, что $B^*(G) = A^B$. Ясно, что $A^B \subset B^*(G)$, так как A - наднильпотентная группа. Пусть $B^*(G) = A^B \lambda B_0$, где $B_0 = \{e\}$ ($\{e\}$ - единичная группа).

Пусть H - циклическая подгруппа в B_0 . Так как $B^*(G)$ - наднильпотентная группа, то $H \cong B^*(G)$. Но



это эквивалентно тому, что H действует стабильно в A^B , что невозможно, так как $A - \theta^*$ = группа. Итак, $B(G) = A^B$.

Пусть теперь $B_0 \in S_B^*$, т.е. $B_0 = \mathcal{X}_0(B)$ для некоторого специального радикала \mathcal{X}_0 . Положим $\mathcal{X}_2 = B^* \mathcal{X}_0$. Тогда также является специальным радикальным классом. Покажем, что

$$\mathcal{X}_2(G) = A^B \lambda B_0$$

Выше было доказано, что $B^*(G) = A^B$. Понятно, что $\mathcal{X}_2(G) = A^B \lambda \mathcal{X}_0(B)$, поэтому $B^*(\mathcal{X}_2(G)) = A^B$. Пусть $\mathcal{X}_2(G) = A^B \lambda B_0$ (По определению, произвольная группа u принадлежит произведению радикальных классов $\mathcal{X}, \mathcal{X}_2$ тогда и только тогда, если $u/\mathcal{X}, (u) \in \mathcal{X}_2$. Рассмотрим

$$\mathcal{X}_2(B)/B^*(\mathcal{X}_2(G)) = \mathcal{X}_2(B)/B^*(G) = \mathcal{X}_0(B), \text{ т.е. } \mathcal{X}_2(G) = A^B \lambda B_0.$$

Аналогично теореме I доказывается

Теорема 2. Пусть A - наднильпотентная $\theta^* - P$ = группа (т.е. $A \in B_p^*$). B - наднильпотентная группа. Тогда $S_G^* = \{ \{e\}, A^B \lambda B_0, \text{ где } B_0 \in S_B^*, B_0 \supset B_p^*(B) \}$.

В заключение приношу благодарность С.М.Вовси, который обратил мое внимание на эту задачу и дал полезные указания.

(Поступило 2.П.1975)

Батумский гос.пед.институт
им. Ш.Руставели

ЛИТЕРАТУРА

1. Б.И.Плоткин, СМЖ, т.Х, 1969, 1091-1108.
2. Ph. Hall, Camb. Phil. Soc., 59, 1963, 531-553
3. K.W. Gruenberg, III, J. Math., 3, 1959, 151-168.
4. А.С.Хехутაишвили, Латвийский МБ, № 9, 1971, 269-278.
5. С.М.Вовси, Труды Рижского алгебраического семинара, II, 1971, 14-18.

ა.ხახუტაიშვილი

სპეციალური რადიკლების აღწერა ბინეციალური ჯგუფების

ბრუნვით ნამრავლებში

რ ე ბ ი უ მ ე

მუშაში აღწერილია პლტკინის სპეციალური რადიკლები ბრუნვით ჯგუფების ნამრავლებში.

A. Khakhutaishvili

DESCRIPTION OF THE SPECIAL RADICALS IN
WREATH PRODUCTS OF THE OVERNILPOTENT
GROUPS

Summary

All special radicals of Plotkin are described in wreath products of Gruenberg's groups.

ბზილისის უნივერსიტეტის შრომები, 176, 1976
Труды Тбилисского университета, 176, 1976

ბრუნო ბაუერლიანის ერთი ზარა სასამართლო ამოცანის დასაბამი მისა-
ბული გამოაქვეყნებში

გ. აღეუსანერია

ვთქვამ Γ რიკაუნივის ტიპის მკურნელი კონფორმა, რომელიც
კომპლექსურ სიბრტყეს ყოფს ორ ნაწილად, სასრული D^+ და უსასრულო D^- არე-
ვება. ვიკვლიხბიოთ, რომ კოორდინატთა სათავე D^+ არეშია მოთავსებული.
 $A(z)$ -ით აღვნიშნოთ $D^+ D^-$ სიბრტყეზე განსამტვრული კომპლექსურ-
რი $z = x + iy$ ცვლილის ჰედერის ას.ით უწყვეტი ფუნქცია, რომელიც უსას-
რულო რაშორებული წერტილის მახლობლობაში აკვირობილვებს პირობას!

$$|A(z)| < \frac{B}{|z|^{1+\epsilon}}, \quad B > 0, \epsilon > 0.$$

განვიხილოთ კომპლექსური განტოლება

$$\frac{\partial u}{\partial \bar{z}} = A\bar{z}.$$

ამ განტოლებიის რეკლარული ამონახსნის უნიკლებენ განმტკალებული
ანალიზურ ფუნქციას².

$\alpha(t)$ იყოს Γ კონფორმზე განსამტვრული წარმტვებადი ფუნქცია, რომ-
მელიც ამ კონფორს ასახავს ზაგის ზაგში მინიმალულებიის მკვლეოთ. ვიკვ-
ლიხბიოთ, გარდა ამისა, რომ $\alpha'(t)$ განსხვავებულია ნულისაგან რა აკვი-
რობილვებს ჰედერის პირობას ყველაზე Γ -ზე. $\alpha(t)$ -ს მებრუნებული
ფუნქცია აღვნიშნოთ $\beta(t)$ -ით. განვიხილოთ ამოცანა:

ვიპოვოთ უსასრულობაში ურბარი განმტკალებული ანალიზური

1 უიძლება განხილვდ იქნეს ის მებხბვევაყ, როცა $A(z)$ -ს გაანონა
პირველი გვარის წყვეტის წერტილებიისა რა წყვეტის წერტილის სასრული
რადიენობა /იხ. [1, 2] /.

2 ნაშრომიში გამოყვებული აღნიშვნებიისა რა ცნებებების მკლახებმ /იხ.

[1, 2, 3, 4] /.

$\Psi(z)$ და $\Psi(z)$ ფუნქციები, რომლებიც აკმაყოფილებენ სასაბჭოთხო პი-
რობას

$$\Psi^-[a(t_0)] = a(t_0)\Psi^-(t_0) + b(t_0)\overline{\Psi^-(t_0)} + c(t_0), \quad //1/$$

სადაც $\Psi^-(t_0)$ და $\Psi^-(t_0)$ აღნიშნავს სათანადო ფუნქციათა სასაბჭოთხო მნი-
შეწველობებს Γ^- -ზე Ω^- არიდან, ამასთან $a(t_0)$, $b(t_0)$ და $c(t_0)$ Γ^- კონ-
ტურზე სივრცული პოლინომის ანონი უწყვეტი ფუნქციებია.

გარდა ამისა ვიგულისხმობთ, რომ $a(t_0)$ განსხვავებულია ნულითა-
გან, ხოლო $\Psi^-(t)$ და $\Psi^-(t)$ ფუნქციები აკმაყოფილებენ პოლინომის
ყველაზე Γ^- -ზე.

ასეთი ტიპის ამოცანა განხილულია ჩვენ მიერ ნაშრომში [4].

წინამდებარე ნაშრომში კი, პრეფ. ნ. ა. ვეკუას მეთოდის გამოყ-
ნებით [5, 10], რამდენიმე ნიშნის ტიპის ტიპის ტიპის ტიპის
ამ ტიპის ტიპის რამდენიმე 1-ის ანალიტიკური ამოცანებისათვის სხვა
ტიპის მეთოდებითა [2, 8] ნაშრომში.

უჩინველადანი ამოცანის

$$\Psi^-[a(t_0)] = a(t_0)\Psi^-(t_0) + b(t_0)\overline{\Psi^-(t_0)} \quad //11/$$

გარე და შიგა მიკავშირებული ამოცანები შემდგომად ჩამოყალიბდება:
ვიპოვოთ

$$\frac{\partial W}{\partial z} = \overline{AW} \quad //2/$$

განსვლითის რეკონსტრუქციის ამონახსნები $\Omega^-(\Omega^+)$ არიდან, რომლებიც აკმაყო-
ფილებენ სასაბჭოთხო პირობებს

$$\xi^-(t_0) = a(t_0)\alpha(t_0)\eta^-[a(t_0)] + b(t_0)\alpha(t_0)\overline{t_0 \cdot \eta^-[a(t_0)]}, \quad //111/$$

$$\xi^+(t_0) = a(t_0)\alpha(t_0)\eta^+[a(t_0)] + b(t_0)\alpha(t_0)\overline{t_0 \cdot \eta^+[a(t_0)]}. \quad //111/$$

// ამოცანის ყოველი ამონახსნი ნაშრომში გვინება რამდენიმე

$$\Psi(z) = -\frac{1}{2\pi i} \int_{\Omega_1} \Omega_1(z, t) a[\beta(t)] \mu[\beta(t)] dt + \\ + \frac{1}{2\pi i} \int_{\Omega_2} \Omega_2(z, t) a[\beta(t)] \mu[\beta(t)] dt - \frac{1}{2\pi i} \int_{\Gamma} \Omega_3(z, t) b[\beta(t)] \mu[\beta(t)] dt +$$

$$\begin{aligned}
 & + \frac{1}{2\pi i} \int_{\Gamma} \Omega_2(z, t) \overline{b[\beta(t)]} \mu[\beta(t)] dt - \frac{1}{2\pi i} \int_{\Gamma} \Omega_1(z, t) c[\beta(t)] dt + \\
 & + \frac{1}{2\pi i} \int_{\Gamma} \Omega_2(z, t) \overline{c[\beta(t)]} dt, \quad 13/
 \end{aligned}$$

$$\psi(z) = -\frac{1}{2\pi i} \int_{\Gamma} \Omega_1(z, t) \mu(t) dt + \frac{1}{2\pi i} \int_{\Gamma} \Omega_2(z, t) \mu(t) dt. \quad 14/$$

სავსებათ 13/ და 14/ 11-ში, მივიღებთ

$$\begin{aligned}
 & \frac{1}{2\pi i} \int_{\Gamma} \{ \Omega_1[\alpha(t_0), \alpha(t)] \alpha'(t) \alpha(t) + \Omega_2(t_0, t) \alpha(t_0) \} \mu(t) dt + \\
 & + \frac{1}{2\pi i} \int_{\Gamma} \{ \Omega_1[\alpha(t_0), \alpha(t)] \alpha'(t) \overline{b(t)} \overline{b(t_0)} - \Omega_2(t_0, t) \overline{b(t_0)} \} \overline{\mu(t)} dt - \\
 & - \frac{1}{2\pi i} \int_{\Gamma} \{ \Omega_2[\alpha(t_0), \alpha(t)] \alpha'(t) \alpha(t) + \Omega_2(t_0, t) \alpha(t_0) \} \mu(t) dt - \\
 & - \frac{1}{2\pi i} \int_{\Gamma} \{ \Omega_2[\alpha(t_0), \alpha(t)] \alpha'(t) \overline{b(t)} \overline{b(t_0)} - \Omega_2(t_0, t) \overline{b(t_0)} \} \mu(t) dt = -H^+[\alpha(t_0)], \quad 15/
 \end{aligned}$$

სადაც $H^+(t_0)$ ნარმოებებს

$$H(z) = \frac{1}{2\pi i} \int_{\Gamma} \Omega_1(z, t) c[\beta(t)] dt - \frac{1}{2\pi i} \int_{\Gamma} \Omega_2(z, t) \overline{c[\beta(t)]} dt \quad 16/$$

ფუნქციის სასაზღვრო მნიშვნელობას D^+ არიდან Γ -ზე. 111 და 14/ ამოცანების ყოველი ამონახსნი კი ნარმოებებზეა შემდგენილი:

$$\begin{aligned}
 \xi(z) = & \mp \left\{ \frac{1}{2\pi i} \int_{\Gamma} \Omega_1^*(z, t) [a(t) v(t) dt + \overline{b(t) v(t)} dt] - \right. \\
 & \left. - \frac{1}{2\pi i} \int_{\Gamma} \Omega_2^*(z, t) [\overline{a(t) v(t)} dt + b(t) v(t) dt] \right\}, \quad 17/
 \end{aligned}$$

$$\begin{aligned}
 \eta(z) = & \mp \left\{ \frac{1}{2\pi i} \int_{\Gamma} \Omega_1^*(z, t) \beta'(t) v[\beta(t)] dt - \right. \\
 & \left. - \frac{1}{2\pi i} \int_{\Gamma} \Omega_2^*(z, t) \overline{\beta'(t) v[\beta(t)]} dt \right\}. \quad 18/
 \end{aligned}$$



աջ /7/ քա /8/ հայեցած /111/ քա /IV/-ში, մուղղված

$$\begin{aligned} & \frac{1}{\pi i} \int_{\Gamma} \Omega_1^*(t_0, t) a(t) v(t) dt - \frac{1}{\pi i} \int_{\Gamma} \Omega_2^*(t_0, t) \overline{a(t)} v(t) dt + \\ & + \frac{1}{\pi i} \int_{\Gamma} \Omega_1^*(t_0, t) \overline{b(t)} v(t) dt - \frac{1}{\pi i} \int_{\Gamma} \Omega_2^*(t_0, t) b(t) v(t) dt + \\ & + \frac{1}{\pi i} \int_{\Gamma} \Omega_1^*[\alpha(t_0), \alpha(t)] \alpha'(t_0) a(t_0) v(t) dt - \frac{1}{\pi i} \int_{\Gamma} \Omega_2^*[\alpha(t_0), \alpha(t)] \alpha'(t_0) a(t_0) \overline{v(t)} dt - \\ & - \frac{1}{\pi i} \int_{\Gamma} \Omega_1^*[\alpha(t_0), \alpha(t)] \alpha'(t_0) b(t_0) \overline{t_0'} v(t) dt + \frac{1}{\pi i} \int_{\Gamma} \Omega_2^*[\alpha(t_0), \alpha(t)] b(t_0) \alpha'(t_0) \overline{t_0'} v(t) dt = 0 \end{aligned}$$

19/

Գանձողըման, հոմելոց /5/-նս մույաքնուրմըլու յրաքարույան ցանձողըման /5/-նս մըլադամնս յրաքարույան ցանձողըմա ալընուրա /50/-նա, երու /30/ քա /40/-նա ալընուրա /11/-նս մըլադամնս սմոնախնըմու.

ցարա, հոմ աջ /5/-նս սմոնախնն հարոսպըլն D^+ աղըմ ցան-
 սաղըրըլու ցանոոսպըմըլու սնալուդըրի օղըլըլոն սասաղըրո մննըլըլու-
 ըան Γ -ըլ, մալնն սաաանար $\Psi(x)$ յղըլըլոս աղմոհըլըմա ըլընս թըրու D^-
 աղըմու, հոն ցամոս /50/ ցանձողըմոնս հրաղըլըլոս քամոլըլըլու սմոնախնըմ
 հաղըլըմա սաղոսպըր /11/ սմոլաննս հրաղըլըլոս քամոլըլըլու սմոնախնը
 մոն հաղըլըմոմըլ մըլո ողըմա.

ղըլըմոս հըլն քալամթըլըլո, հարըլըմըլըլո, հոմըլըմսալ սրը
 մոաղ ցամոլըլըլո ըլըլըլոն աղըլըլոն քասաղըլըլո.

ցարնոնոոս ոնթըլըլո ցանձողըմո

$$\begin{aligned} & a(t_0) \mu^+(t_0) + \frac{1}{\pi i} \int_{\Gamma} \Omega_1^*[\alpha(t_0), \alpha(t)] \alpha'(t) a(t) \mu^+(t) dt - \\ & - \frac{1}{\pi i} \int_{\Gamma} \Omega_2^*[\alpha(t_0), \alpha(t)] \alpha'(t) a(t) \mu^+(t) dt + b(t_0) \mu^+(t_0) + \\ & + \frac{1}{\pi i} \int_{\Gamma} \Omega_1^*[\alpha(t_0), \alpha(t)] b(t) \alpha'(t) \overline{t} \mu^+(t) dt - \end{aligned}$$

$$-\frac{1}{\pi i} \int_{\Gamma} \Omega_2[\alpha(t_0), \alpha(t)] \overline{b(t) \alpha'(t)} \overline{t'} \mu^+(t) dt = \mu^+(t_0) -$$

$$-\frac{1}{\pi i} \int_{\Gamma} \Omega_1(t_0, t) \mu^+(t) dt + \frac{1}{\pi i} \int_{\Gamma} \Omega_2(t_0, t) \overline{\mu^+(t)} dt,$$

/10/

$$a(t_0) \rho(t_0) - \frac{1}{\pi i} \int_{\Gamma} \Omega_1^*[\alpha(t_0), \alpha(t)] \alpha'(t_0) a(t_0) \rho(t) dt +$$

$$+ \frac{1}{\pi i} \int_{\Gamma} \Omega_2^*[\alpha(t_0), \alpha(t)] \alpha'(t_0) a(t_0) \overline{\rho(t)} dt +$$

$$+ \overline{b(t_0)} \overline{t_0'} \overline{\rho(t_0)} + \frac{1}{\pi i} \int_{\Gamma} \Omega_1^*[\alpha(t_0), \alpha(t)] \overline{b(t_0) \alpha'(t_0)} \cdot \overline{t_0'} \cdot \overline{\rho(t)} dt -$$

$$-\frac{1}{\pi i} \int_{\Gamma} \Omega_2^*[\alpha(t_0), \alpha(t)] \overline{b(t_0) \alpha'(t_0)} \overline{t_0'} \rho(t) dt =$$

$$= \rho(t_0) + \frac{1}{\pi i} \int_{\Gamma} \Omega_1^*(t_0, t) \rho(t) dt - \frac{1}{\pi i} \int_{\Gamma} \Omega_2^*(t_0, t) \overline{\rho(t)} dt,$$

/11/

$$a(t_0) \nu(t_0) - \frac{1}{\pi i} \int_{\Gamma} \Omega_1^*(t_0, t) a(t) \nu(t) dt + \frac{1}{\pi i} \int_{\Gamma} \Omega_2^*(t_0, t) \overline{a(t) \nu(t)} dt +$$

$$+ \overline{b(t_0)} \overline{t_0'} \overline{\nu(t_0)} - \frac{1}{\pi i} \int_{\Gamma} \Omega_1^*(t_0, t) \overline{b(t) \nu(t)} dt +$$

$$+ \frac{1}{\pi i} \int_{\Gamma} \Omega_2^*(t_0, t) b(t) \nu(t) dt = \frac{\nu(t_0)}{\alpha'(t_0)} +$$

$$+ \frac{1}{\pi i} \int_{\Gamma} \Omega_1^*[\alpha(t_0), \alpha(t)] \nu(t) dt - \frac{1}{\pi i} \int_{\Gamma} \Omega_2^*[\alpha(t_0), \alpha(t)] \overline{\nu(t)} dt.$$

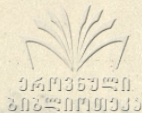
/12/

სამართლიანია შემდეგი იტყობი:

იტყობ. /12/ ბ ბ ბ ბ ბ ბ ბ ბ ბ ბ ბ ბ ბ ბ

ბ ბ ბ ბ ბ

$$\nu(t) = \alpha'(t) \nu^+[\alpha(t)]$$



սահուն ամոճանանքը, սարս $\nu^+(t)$ Բահմոար-
 ժցեն D^+ առջեի ժանսամըջրշրի ժանժո-
 ժարցեմշրի անարիժշրի քշրջցոոն սանս
 ժրջրո մեոժցեցըոման Γ -ձց.

ըմա 11. /11/ ժանժոըցեոն ամոճանան
 ժրջրոըցըոնս յրոնրցն

$$\rho(t) = \alpha'(t) \sigma^{-}[\alpha(t)]$$

սանց, սարս $\sigma^{-}(t)$ Բահմոարժցեն յսանրշրո
 ժաժո յրոժարո թա D^{-} առջեի ժանսամըջ
 ժրի ժանժոժարցեմշրի անարիժշրի քշր
 յցոոն սանսամըջրո մեոժցեցըոման Γ -ձց

ըմա 111. /11/ թա /12/ ժանժոըցեոնս սրջո
 յրոն թա ոցոց յարքեոնժա Բրքոցսար
 թամոշյոըցըոն ամոճանանքըոնս.

ըմա 1V. /10/ ժանժոըցեոնս մեոըոթ ոնցո
 ամոճանաննի ժանհնոն, յոմըոնս D^+ առջեի
 ժանսամըջրշրի ժանժոժարցեմշրի անարի
 ժշրի քշրջցոոն սանսամըջրո մեոժցեցը
 Դձա Γ -ձց.

1. ըմոն թամոցընա. յոյնս $\nu(t)$ Բահմոարցեն /12/ ժանժոը
 նոն հոնց ամոճանան. մաժոն /7/ թա /8/ ժոլոննոն ժամոցըննոն /12/
 մոցընն

$$\xi^-(t_0) = \eta^-[\alpha(t_0)]. \quad /13/$$

սո ամոցանան յո մեոըոթ յր(րջանի ամոճանաննի սրցն /ոն. [6] /,
 ոն ժամոց ժրջընն

$$\nu(t_0) = \alpha'(t_0) \sigma^+[\alpha(t_0)].$$

ამით ღვამა / რამდენიმეჯერა.

ახლა ვთქვათ, რომ /11/ განტოლების ამონახსნს აქვს შემდეგი სახე:

$$\rho(t_0) = \alpha'(t_0) \overline{\Omega[\alpha(t_0)]}.$$

მაშინ /11/ ასე გადანერგება

$$\rho(t_0) + \frac{1}{\pi i} \int_{\Gamma} \Omega_1^*(t_0, t) \rho(t) dt - \frac{1}{\pi i} \int_{\Gamma} \Omega_2^*(t_0, t) \overline{\rho(t)} dt = 0.$$

ეს კი იმას ნიშნავს, რომ $\rho(t_0) = P^-(t_0)$ ანუ

$$\alpha'(t_0) \overline{\Omega[\alpha(t_0)]} - P^-(t_0) = 0.$$

/14/

აქველი დასამტკიცებელია, რომ ამ ამოცანას მხოლოდ ნულივანი ამონახსნი აქვს. მართლაც /14/ ამოცანის ყოველი ამონახსნი ნარმოტირდება ღრმულეებით

$$P(z) = -\left[\frac{1}{2\pi i} \int_{\Gamma} \Omega_1^*(z, t) \rho(t) dt - \frac{1}{2\pi i} \int_{\Gamma} \Omega_2^*(z, t) \overline{\rho(t)} dt \right],$$

/15/

$$\overline{P(z)} = -\left[\frac{1}{2\pi i} \int_{\Gamma} \Omega_1^*(z, t) \overline{\rho'(t)} \overline{\Omega[\beta(t)]} dt - \frac{1}{2\pi i} \int_{\Gamma} \Omega_2^*(z, t) \beta'(t) \overline{\rho[\beta(t)]} dt \right].$$

ეს ამით ჩავსვამთ /14/-ში, მივიღებთ

$$M\rho = \frac{1}{\pi i} \int_{\Gamma} \Omega_1^*[\alpha(t_0), \alpha(t)] \alpha'(t_0) + \Omega_1^*(t_0, t) \rho(t) dt -$$

$$- \frac{1}{\pi i} \int_{\Gamma} \Omega_2^*[\alpha(t_0), \alpha(t)] \alpha'(t_0) + \Omega_2^*(t_0, t) \overline{\rho(t)} dt = 0.$$

/16/

გავიხსენოთ, რომ

$$\Omega_1^*(z, t) = -\Omega_1(t, z),$$

$$\Omega_2^*(z, t) = \Omega_2(t, z)$$

და ჩავწეროთ /16/-ის მიკავშირებული განტოლება

$$\frac{1}{\pi i} \int_{\Gamma} \Omega_1[\alpha(t_0), \alpha(t)] \alpha'(t) \rho(t) dt - \Omega_2[\alpha(t_0), \alpha(t)] \overline{\alpha'(t) \rho(t)} dt +$$

$$+\frac{1}{\pi i} \int_{\Gamma} [\Omega_1(t_0, t) \rho_1(t) dt - \overline{\Omega_2(t_0, t) \rho_1(t) dt}] = 0.$$

ამ განტოლების $\rho_1(t)$ ამონახსნის საშუალებით ავაგოთ ფუნქციები

$$\begin{aligned} \Psi_1(z) &= -\frac{1}{2\pi i} \int_{\Gamma} \Omega_1(z, t) \rho_1(t) [\beta(t)] dt - \frac{1}{2\pi i} \int_{\Gamma} \Omega_2(z, t) \overline{\rho_1(t) [\beta(t)]} dt, \\ \Psi_2(z) &= -\frac{1}{2\pi i} \int_{\Gamma} \Omega_1(z, t) \rho_1(t) dt - \frac{1}{2\pi i} \int_{\Gamma} \Omega_2(z, t) \overline{\rho_1(t) dt}. \end{aligned} \quad /18/$$

აქველი შესაძომებელია, რომ ეს ფუნქციები აკმაყოფილებენ პირობას

$$\Psi_1^-[\alpha(t_0)] = \Psi_2^-(t_0). \quad /19/$$

ამ უკანასკნელ ამოყანას კი მხოლოდ ნულვანი ამონახსნი აქვს. მეორე მხრივ, /19/ ამოყანის ყოველი ამონახსნი წარმოიპოვებება /18/ სახით, სადაც $\rho_1(t) = \Psi_2^-(t)$, ამასთან $\rho_1(t)$ იქნება /17/-ის ამონახსნიც, რის გამოც გვექნება

$$\rho_1(t) = 0.$$

ამრიგად, /17/ განტოლებას მხოლოდ ნულვანი ამონახსნი გააჩნია, რაგან /16/ განტოლების ინტეგრალ ნულის ტოლია, მასაც მხოლოდ ნულვანი ამონახსნები ექნება. ეს კი გვარწმუნებს მეორე ლემის სამართლიანობაში.

გადავიდეთ III ლემის დამტკიცებაზე. ვთვალო $f(t)$ არის /11/ განტოლების რაიმე ამონახსნი. შევარგინოთ ფუნქციები

$$\begin{aligned} \xi(z) &= -P(z), \\ \eta(z) &= -G(z). \end{aligned} \quad /20/$$

აქველი შესაძომებელია, რომ ეს ფუნქციები დააკმაყოფილებენ /IV/ ამოყანას. პირიქით, ვთვალო $\xi(z)$ და $\eta(z)$ ფუნქციები /IV/ ამოყანის ამონახსნია. განვიხილოთ გამოსახულება

$$g(t_0) = \alpha'(t_0) \eta^+[\alpha(t_0)] - \xi^+(t_0). \quad /21/$$

ეს უკანასკნელი გარკვეული სასაზღვრო ამოყანაა, რომელსაც $\xi(z)$ და $\eta(z)$ ფუნქციები აკმაყოფილებენ.



მეორე მხრივ, /21/ ამოცანის ამონახსნი ვეძებთ /20/ წესით.

გვეუწება

$$M\rho = g(t_0).$$

ამ განტოლებას კი, როგორც გემოთ იცო ნაჩვენებია, ურთაქროთ ამონახსნი გააჩნია. გემოთ ჩატარებული მსჯელობიდან გამომდინარეობს, რომ /1V/ ამოცანის ყოველი ამონახსნი წარმოიქმნება /20/ ფორმულით და, მაშასადამე, /1V/ და /11/-ს აქვს ერთი და იგივე რაოდენობა წრფივად გამოსაკლებელი ამონახსნებისა.

ანალოგიურადაც დამტკიცდება, რომ /12/ განტოლებასა და /1V/ ამოცანას ერთი და იგივე რაოდენობა წრფივად გამოსაკლებელი ამონახსნები აქვს. მაშასადამე, ვთქვათ, $\nu(t)$ არის /12/ განტოლების ამონახსნი. I ლემის თანახმად

$$\nu(t) = \alpha'(t) \eta^+[\alpha(t)], \quad /22/$$

რის გამოც /7/ და /8/ ფუნქციები იქნებიან /1V/ ამოცანის ამონახსნები. ახლა ვთქვათ $\xi(x)$ და $\eta(x)$ წარმოადგენენ /1V/ ამოცანის ამონახსნებს. განვიხილოთ ფუნქცია /22/.

აგრეთვე მისახვედრია, რომ /1V/ ამოცანის ყოველი ამონახსნი წარმოიქმნება /7/ და /8/ სახით, სადაც $\nu(t)$ იქნება /12/ განტოლების ამონახსნი.

გემოთ ჩატარებული მსჯელობიდან გამომდინარეობს III ლემის სამართლიანობა.

IV ლემა დამტკიცდება I ლემის ანალოგიურადაც.

სამართლიანია შემდეგი დებულებები:

თეორემა I. ი მ ი ს ა მ ე ვ ი ს რ კ მ /1/ ა მ ც ა ნ ა ს ტ ა ა ჩ რ ე ს უ ს ა ს რ უ ლ რ ბ ა მ ი ე რ კ ბ ა რ ი ა მ რ ა ხ ს ნ ე მ ი , ა უ თ ი რ ე მ ე ლ ი და ს ა ვ მ ა რ ი ს ი ა , რ კ მ /11/ ა მ ც ა ნ ა ს ტ ა ყ რ ე ვ ე ლ ი ა მ რ ა ხ ს ნ ი ს ა მ ე ვ ი ს მ ე ს რ უ ლ ე მ ე ლ ი ი ც რ ს ა ი რ კ ბ ა .

$$\operatorname{Re} \int_{\Gamma} \alpha'(t) \eta^{-}[\alpha(t)] c(t) dt = 0.$$

աղյուցիկ 2. $\ell - \ell' = 2x$ սարսյակ ℓ և ℓ' երկուսն էլ
 յայտնի /III/ և η ֆունկցիոնալի համար /III/
 սահմանափակումներ են հարկադրված ըստ
 իրենց հատկություններից η ֆունկցիոնալի
 համար $x = \operatorname{ind} a(t)$.

հետևաբար ստանում ենք, /5/ ճանկերի մոտեցման
 սահմանափակումները համարում ենք:

$$\operatorname{Re} \int_{\Gamma} v(t_0) H^+[\alpha(t_0)] dt_0 = 0,$$

սարսյակ $v(t_0)$ ֆունկցիոնալի /9/ ճանկերի մոտեցման
 համարում ենք $H^+[\alpha(t_0)]$ -ն մոտեցման, մոտեցման

$$\begin{aligned} 0 &= \operatorname{Re} \left\{ \int_{\Gamma} \left[\frac{c(t_0)}{2} - \frac{1}{2\pi i} \int_{\Omega_1} [\alpha(t_0), \alpha(t)] c(t) \alpha'(t) dt + \right. \right. \\ &+ \left. \frac{1}{2\pi i} \int_{\Omega_2} [\alpha(t_0), \alpha(t)] \overline{c(t) \alpha'(t)} \right] v(t_0) dt_0 \Big\} = \\ &= \operatorname{Re} \left\{ \int_{\Gamma} \frac{c(t_0) v(t_0)}{2} dt_0 - \int_{\Gamma} \alpha'(t_0) c(t_0) dt_0 \frac{1}{2\pi i} \int_{\Omega_1} [\alpha(t), \alpha(t_0)] v(t) dt + \right. \\ &+ \left. \frac{1}{2\pi i} \int_{\Gamma} \overline{\alpha'(t_0) c(t_0)} \int_{\Omega_2} [\alpha(t), \alpha(t_0)] v(t) dt \right\} = \\ &= \int_{\Gamma} c(t_0) \alpha'(t_0) dt_0 \left[\frac{v(t_0)}{2\alpha'(t_0)} - \frac{1}{2\pi i} \int_{\Omega_1} [\alpha(t), \alpha(t_0)] v(t) dt - \right. \\ &\quad \left. - \frac{1}{2\pi i} \int_{\Omega_2} [\alpha(t), \alpha(t_0)] \overline{v(t)} dt \right] + \\ &+ \int_{\Gamma} \overline{c(t_0) \alpha'(t_0)} \left[\frac{v(t_0)}{2\alpha'(t_0)} + \frac{1}{2\pi i} \int_{\Omega_1} [\alpha(t), \alpha(t_0)] v(t) dt + \right. \\ &\quad \left. + \frac{1}{2\pi i} \int_{\Omega_2} [\alpha(t), \alpha(t_0)] \overline{v(t)} dt \right]. \end{aligned}$$

այ ճաշակարաններում, որոնք

$$\Omega_1(t, t_0) = -\Omega_1^*(t_0, t),$$

$$\Omega_2(t, t_0) = \Omega_2^*(t_0, t),$$

մասին /8/ զտրման ժամանակ միջոցներ

$$\int_{\Gamma} [c(t_0)\alpha'(t_0)\eta[\alpha(t_0)]dt_0 + \overline{\int_{\Gamma} [c(t_0)\alpha'(t_0)\eta[\alpha(t_0)]dt_0}] = 0,$$

այն

$$\operatorname{Re} \int_{\Gamma} c(t)\alpha'(t)\eta[\alpha(t)]dt = 0.$$

հսկայականությունները շարունակական են.

K -ի ստանդարտ /5a/ ճանաչողական հարցն էր բացահայտելի ստանդարտների հարցն էր, երբ K_1 -ի մոտիկ ուղիով հարցն էր բացահայտելի ստանդարտների հարցն էր, որոնցում \mathcal{N}^+ -ի ճանաչողական ճանաչողական ստանդարտի ճանաչողական ստանդարտները հարցն էր

Γ -ից. ճանաչում

$$K = \ell - K_1$$

IV դրանի ստանդարտ K_1 դրան /10/ ճանաչողական հարցն էր բացահայտելի ստանդարտների հարցն էր.

K' -ի ստանդարտ /9/ ճանաչողական հարցն էր բացահայտելի ստանդարտների հարցն էր, երբ K'_1 -ի մոտիկ ուղիով հարցն էր բացահայտելի ստանդարտների հարցն էր, որոնցում հարցն էր ճանաչողական ստանդարտների հարցն էր

$$v(t) = \alpha'(t)v^+[\alpha(t)].$$

ճանաչում

$$K' = \ell' + K'_1.$$

I դրանի ստանդարտներում ստանդարտ ճանաչում /12/ ճանաչողական հարցն էր բացահայտելի ստանդարտների հարցն էր.

ստանդարտի ստանդարտներում, որոնք /5a/ ճանաչողական հարցն էր հարցն էր, որոնք

$$K = K'.$$

საიპაჩაყ ვიუბულომ

$$l - l' = 2x,$$

სადაც

$$x = \text{inda}(t).$$

ამრიგად დამტკიცდა მეორე თეორემა.

ანალიტიკური თეორემების დამტკიცება შეიძლება რამდენიმე საძიებვე-
 რი ფუნქციის შემთხვევაშიც.

(მიღებულია 10.XII.1975)

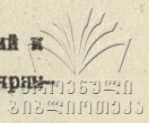
ფიზიკის ფაკულტეტის

მათემატიკის კათედრა

ლიტერატურა

1. И.Н.Векуа, Обобщенные аналитические функции. М., 1959.
2. Л.Г.Михайлов, ДАН СССР, т.II2, № I, 1957.
3. Ф.Д.Гахов, Краевые задачи. М., 1958.
4. Г.Н.Александрия, Сообщения АН ГССР, т. XXI, № 3, 1958.
5. Н.П.Векуа, Труды Тбилисского мат.института, т.XXXIV, 1968.
6. Д.А.Квеселავა, Труды Тбилисского мат.института, т.XVI, 1948.
7. Г.Ф.Манджavidze, Сообщения АН ГССР, т.IV, № 5, 1950.
8. Б.В.Боярский, Сообщения АН ГССР, т.XXXVI, 1960.

9. Л.Г. Михайлов, Новый класс особых интегральных уравнений и его применения к дифференциальным уравнениям с сингулярными коэффициентами. Душанбе, 1963.



10. Н.П. Векуа, Механика сплошной среды и родственные проблемы анализа. М., 1972.

Г.Н. Александрия

ОБ ОДНОЙ ВНЕШНЕЙ ГРАНИЧНОЙ ЗАДАЧЕ ЛИНЕЙНОГО
СОПРЯЖЕНИЯ С ЗАДАНЫМ СМЕЩЕНИЕМ

Резюме

Рассматривается следующая граничная задача: в бесконечной области D^- найти обобщенные аналитические функции $\varphi(z)$ и $\psi(z)$ по граничному условию

$$\varphi[\alpha(t)] = a(t)\psi^-(t) + b(t)\overline{\psi^-(t)} + c(t),$$

где функции $a(t), b(t), c(t)$ и $\alpha(t)$ удовлетворяют известным условиям гладкости, причем $a(t) \neq 0$.

Задача такого типа изучена в работе [4]. В настоящей заметке, видоизменяя метод проф. Н.П. Векуа [5], докажем теорему, аналогичные теоремам Нетера.

G.Alexandria

ON AN EXTERNAL BOUNDARY PROBLEM OF
 LINEAR CONJUGATION WITH A GIVEN
 DISPLACEMENT

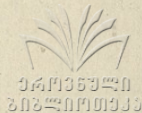
Summary

The paper considers the following problem: to find generalized functions $\varphi(z)$ and $\psi(z)$ in an infinite domain D^- with the boundary condition

$$\varphi^{-}[\alpha(t)] = a(t)\psi^{-}(t) + b(t)\overline{\psi^{-}(t)} + c(t)$$

where functions $a(t)$, $b(t)$, $c(t)$, $d(t)$ satisfy certain smoothness conditions and $a(t) \neq 0$.

The problem of this type was studied in [4]. Modifying N.P. Vekua's method [5], theorems analogous to those of Noether are proved.



მაქრონი რიგის აპროქსიმაციის სხვაობიანი საბაზისი გარდა მათი რიგის
 ელიფსური ტიპის გარდაც წარმოებულადაც ელიფსური ტიპის
 ციფრების

ი. ამბლაძე

განვიხილოთ p -განზომილებიანი მარტივად მარტივად

$\bar{G} = \{0 \leq x_\alpha \leq 1, \alpha = 1, 2, \dots, p\}$ რიგის ანტიპარალელური მართკუთხედიანი
 მრავალკუთხედიანი რიგის ელიფსური ტიპის

$$Lu(x) = f(x), \quad x = (x_1, x_2, \dots, x_p) \in G, \quad 11/$$

$$u(x) = \mu(x), \quad x \in \Gamma, \quad 12/$$

სადაც

$$L \equiv \sum_{i=1}^p \frac{\partial^2}{\partial x_i^2} + 2 \sum_{i=1}^{p-1} \sum_{j=i+1}^p c_{ij} \frac{\partial^2}{\partial x_i \partial x_j},$$

ხოლო Γ საბოლოოა G არისა.

ქვემოთ ატარებული იქნება სხვაობიანი სქემა, რომელიც ახდენს
 11/-12/ ანტიპარალელური მართკუთხედიანი რიგის მიმართ მრავალკუთხედიანი
 ტიპის, როგორც საბოლოო ანტიპარალელური $u(x) \in C^{(6)}(\bar{G})$.

ანტიპარალელური საკითხი, როცა $p=2$, განხილულია 11/-ში.

რამდენიმე G არე ისეთი მარტივად \bar{W}_h ბაზისი, რომელიც და ა-
 ბაზისი უფრო X_α პროგრესივის მიმართ

$$\bar{W}_h = \{x_\alpha = (x_1^{(i_1)} = i_1 h_1, \dots, x_\alpha^{(i_\alpha)} = i_\alpha h_\alpha, \dots, x_p^{(i_p)} = i_p h_p) \in \bar{G},$$

$$h_\alpha = \eta_\alpha h = \ell_\alpha / N_\alpha, i_\alpha = 0, 1, \dots, N_\alpha, \alpha = 1, 2, \dots, p\}.$$

$\bar{W}_h = \omega_h + \chi_h$, სადაც ω_h -ით აღნიშნულია შიდა კვანძით წერტილების
 სიმრავლე, ხოლო χ_h -ით-ბაზის საბოლოოთი წერტილების სიმრავლე.

დაეშვათ, რომ სხვაობიანი სქემის ასაგებად ეყენებოთ 3^p წერ-
 ტილიან მარტივად მარტივად ტიპის მარტივად. ასეთ შემთხვევაში სამა-
 რტივანია შემდეგი

$$a_{11}^{(i,j)} = \frac{1}{6} + \frac{5-p}{6} c_{ij} + \frac{1}{3} c_{ij}^2 - \frac{1}{3} \sum_{\substack{k=1 \\ k \neq i,j}}^p c_{ik} c_{jk} + \frac{1}{6} \sum_{\substack{k,m=1 \\ m+k \neq i,j}}^p (c_{ij} c_{km} + c_{ik} c_{jm} + c_{im} c_{jk}) + \sum_{\substack{k=1 \\ k \neq i,j}}^p S_{110}^{(i,j,k)} \left(1, -2, \frac{1}{2}\right), \quad 15_2$$

$$a_{1-1}^{(i,j)} = \frac{1}{6} - \frac{5-p}{6} c_{ij} + \frac{1}{3} c_{ij}^2 + \frac{1}{3} \sum_{\substack{k=1 \\ k \neq i,j}}^p c_{ik} c_{jk} + \sum_{\substack{k=1 \\ k \neq i,j}}^p S_{1-10}^{(i,j,k)} \left(0, -2, \frac{1}{2}\right),$$

$$a_{111}^{(i,j,k)} = \frac{1}{12} [c_{ij} + c_{ik} + c_{jk} + 2(c_{ij} c_{ik} + c_{ij} c_{jk} + c_{ik} c_{jk})] - \frac{1}{3} \sum_{\substack{m=1 \\ m \neq i,j,k}}^p (c_{ij} c_{km} + c_{ik} c_{jm} + c_{im} c_{jk}) + S_{111}^{(i,j,k)} (1, 1, -1), \quad 15_3$$

$$a_{1-1-1}^{(i,j,k)} = \frac{1}{12} [c_{ij} - c_{ik} - c_{jk} + 2(c_{ik} c_{jk} - c_{ij} c_{ik} - c_{ij} c_{jk})] + S_{1-1-1}^{(i,j,k)} (0, 1, -1),$$

$$a_{1-11}^{(i,j,k)} = \frac{1}{12} [c_{ik} - c_{ij} - c_{jk} + 2(c_{ij} c_{jk} - c_{ij} c_{ik} - c_{ik} c_{jk})] + S_{1-11}^{(i,j,k)} (0, 1, -1),$$

$$a_{1-1-1}^{(i,j,k)} = \frac{1}{12} [c_{jk} - c_{ij} - c_{ik} + 2(c_{ij} c_{ik} - c_{ij} c_{jk} - c_{ik} c_{jk})] + S_{1-1-1}^{(i,j,k)} (0, 1, -1),$$

որոշումը $a_{1111}^{(i,j,k,m)}$ ստացվում է:

$$a_{1111}^{(i,j,k,m)} = \frac{1}{3} (c_{ij} c_{km} + c_{ik} c_{jm} + c_{im} c_{jk}) + S_{1111}^{(i,j,k,m)}, \quad 15_4$$

ստացվում է

$$S_{1111}^{(i,j,k,m)} = \sum_{\substack{n_1, \dots, n_{p-1} \\ n_1^2 + \dots + n_{p-1}^2 = 4}} n_1 n_j n_k n_m \frac{1+n_i}{2} \left(\frac{1+j_i}{2} \cdot \frac{1+k_i}{2} \cdot \frac{1+m_i}{2} - 1 \right) a_{n_1 \dots n_p}$$

$$- \sum_{\substack{n_1, \dots, n_{p-1} \\ n_1^2 + \dots + n_{p-1}^2 \geq 5}} n_1 n_j n_k n_m \frac{1+n_i}{2} a_{n_1 \dots n_p}$$

$$S_{1111}^{(i,j,k)}(\beta_1, \beta_2, \beta_3) = p \beta_2 \delta_{ijk} + \beta_3 \sum_{\substack{m=1 \\ m \neq i,j,k}}^p \sum_{n_1, \dots, n_{p-1}} n_1 n_j n_k n_m \frac{1+n_i}{2} \times \\ \times \left(\frac{n_j + \beta_1}{2} \cdot \frac{n_k + \beta_1}{2} n_m - \beta_1 \right) a_{n_1 n_2 \dots n_p}$$

1. А.А.Самарский, Введение в теорию разностных схем. Изд-во "Наука", М., 1971.
2. В.В.Бадагадзе, Сообщ. АН Груз.ССР, 1963, 31, № 2.

И.О.Абуладзе

РАЗНОСТНЫЕ СХЕМЫ ПОВЫШЕННОГО ПОРЯДКА АППРОКСИМАЦИИ
 ДЛЯ ДИФФЕРЕНЦИАЛЬНОГО УРАВНЕНИЯ ВТОРОГО ПОРЯДКА
 ЭЛЛИПТИЧЕСКОГО ТИПА СО СМЕШАННЫМИ ПРОИЗВОДНЫМИ

Р е з ю м е

Рассматривается первая граничная задача в p -мерном параллелепипеде для дифференциального уравнения второго порядка эллиптического типа со смешанными производными. На 3^p -точечном шаблоне квадратной сетки построено многопараметрическое семейство разностных схем четвертого порядка аппроксимации. При $p=3$ указаны достаточные условия равномерной сходимости построенных схем.

I. Abuladze

HIGH-ORDER DIFFERENCE SCHEMES OF
APPROXIMATION FOR SECOND-ORDER
DIFFERENTIAL EQUATIONS OF ELLIPTIC
TYPE WITH MIXED DERIVATIVES

Summary

The first boundary value problem is considered in the p -dimensional parallelepiped for a second-order elliptic differential equation with a mixed derivative. On the 3-point model of a square mesh a multiparametric family of difference schemes of a fourth-order approximation is constructed. When $p=3$ the sufficient conditions of uniform convergence of the constructed schemes are given.

НЕКОТОРЫЕ ВОПРОСЫ ТУРБУЛЕНТНОГО ТРЕНИЯ
В ВЯЗКОЙ ЖИДКОСТИ

Н.Н.Петерия

1. В В Е Д Е Н И Е

Проблема турбулентности является важнейшей проблемой гидродинамики, которая привлекает внимание ученых в течение последних восьмидесяти лет. Гаген первый на опытах с трубами изучал как ламинарную, так и турбулентную формы течений, однако, ему не удалось подметить общей закономерности. Осборн Рейнольдс показал, что переход ламинарного типа движения в турбулентный совершается тогда, когда безразмерная величина $\frac{u \rho}{\eta}$ (u - средняя скорость, ρ - радиус трубы, η - кинематический коэффициент вязкости) переходит через некоторую границу, которая впоследствии была названа критическим числом Рейнольдса. Проблема турбулентности в настоящее время все еще далека от полного разрешения. Между тем, турбулентное течение жидкости в отличие от ламинарного является более естественной формой движения жидкости. Потоки рек и ветров отличаются от параллельно-струйных потоков жидкости. Осредненные гидродинамические величины таких потоков не подчиняются уравнениям Навье-Стокса для вязкой жидкости. Известно, что движения жидкой среды определяются посредством осредненных согласно кинетической теории материи величин, характеризующих хаотические движения огромного количества молекул. При этом полагается, что величины, характеризующие с макроскопической точки зрения микрочастицы, такие как давление, плотность, температура и компоненты скорости приблизительно удов-



летворяют уравнениям Навье–Стокса. Это допущение не расходится с опытными данными при ламинарном режиме течения.

Однако при турбулентном режиме на осредненное движение налагаются турбулентные пульсации, которые, в основном, имеют случайный характер.

Рейнольдс предложил правило осреднения гидродинамических величин, которое можно выразить формулой:

$$\bar{f}(x, t) = \lim_{T \rightarrow \infty} \frac{1}{T} \int_{-T}^T f(x, \tau) d\tau$$

Если воспользоваться вышеприведенным правилом осреднения, то уравнения Навье–Стокса можно привести к уравнениям Рейнольдса, которые отличаются от уравнений Навье–Стокса наличием дополнительных аддитивных членов, именуемых напряжениями Рейнольдса и, в сущности, выражающих скорости турбулентного переноса импульса. Эти скорости превосходят молекулярный перенос, в силу чего и именуются скоростями молярного переноса.

Образуя тензор второго ранга в случае несжимаемой жидкости, эти турбулентные напряжения выражаются формулами:

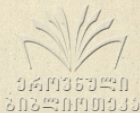
$$\begin{aligned} &-\rho \overline{u'^2}, \quad -\rho \overline{u'v'}, \quad -\rho \overline{u'w'}, \\ &-\rho \overline{v'u'}, \quad -\rho \overline{v'^2}, \quad -\rho \overline{v'w'}, \quad \dots \dots \quad (1.1) \\ &-\rho \overline{w'u'}, \quad -\rho \overline{w'v'}, \quad -\rho \overline{w'^2}. \end{aligned}$$

При этом полагается

$$u = u' + \bar{u}, \quad v = v' + \bar{v}, \quad w = w' + \bar{w}$$

где u' , v' , w' – турбулентные пульсации компонентов вектора скорости; u , v , w – мгновенные значения тех же величин,

ρ – плотность жидкости. Как известно, уравнения Рейнольдса имеют вид:



$$\begin{aligned} \frac{\partial \bar{u}}{\partial t} + \bar{u} \frac{\partial \bar{u}}{\partial x} + \bar{v} \frac{\partial \bar{u}}{\partial y} + \bar{w} \frac{\partial \bar{u}}{\partial z} = & -\frac{1}{\rho} \frac{\partial \bar{p}}{\partial x} + \nu \Delta \bar{u} + \frac{1}{\rho} \left\{ \frac{\partial}{\partial x} (-\rho \bar{u}^2) + \right. \\ & \left. + \frac{\partial}{\partial y} (-\rho \bar{u} \bar{v}) + \frac{\partial}{\partial z} (-\rho \bar{u} \bar{w}) \right\}, \quad \frac{\partial \bar{v}}{\partial t} + \bar{u} \frac{\partial \bar{v}}{\partial x} + \bar{v} \frac{\partial \bar{v}}{\partial y} + \bar{w} \frac{\partial \bar{v}}{\partial z} = -\frac{1}{\rho} \frac{\partial \bar{p}}{\partial y} + (1.2) \\ & + \nu \Delta \bar{v} + \frac{1}{\rho} \left\{ \frac{\partial}{\partial x} (-\rho \bar{u} \bar{v}) + \frac{\partial}{\partial y} (-\rho \bar{v}^2) + \frac{\partial}{\partial z} (-\rho \bar{v} \bar{w}) \right\}, \quad \frac{\partial \bar{w}}{\partial t} + \bar{u} \frac{\partial \bar{w}}{\partial x} + \bar{v} \frac{\partial \bar{w}}{\partial y} + \bar{w} \frac{\partial \bar{w}}{\partial z} = \\ & -\frac{1}{\rho} \frac{\partial \bar{p}}{\partial z} + \nu \Delta \bar{w} + \frac{1}{\rho} \left\{ \frac{\partial}{\partial x} (-\rho \bar{u} \bar{w}) + \frac{\partial}{\partial y} (-\rho \bar{v} \bar{w}) + \frac{\partial}{\partial z} (-\rho \bar{w}^2) \right\}, \quad \frac{\partial \bar{u}}{\partial x} + \frac{\partial \bar{v}}{\partial y} + \frac{\partial \bar{w}}{\partial z} = 0. \end{aligned}$$

Система уравнений составлена на основе допущения, что мгновенные значения гидродинамических величин удовлетворяют обычным уравнениям Навье-Стокса. 4 уравнения недостаточны для определения 10 неизвестных, которые входят в (1.1), поэтому при изучении конкретных, практически важных движений прибегают к помощи дополнительных гипотез, правильный выбор которых и составляет основные трудности теории турбулентных движений жидкости. Такие гипотезы были введены Буссинеском, Прандтлем, Тейлором, Карманом и другими. Из них большое применение в практике нашла теория пути перемешивания Прандтля.

Утверждают, что причиной перехода ламинарного потока к турбулентному является неустойчивость ламинарного движения относительно возмущений при больших числах Рейнольдса. Согласно этой гипотезе, бесконечно малые возмущения, наложенные на ламинарный поток, возрастают экспоненциально.

Некоторые ученые утверждают, что переход от ламинарного движения к турбулентному можно реализовать и при малых числах Рейнольдса вследствие действия или возмущений конечной амплитуды или достаточно больших градиентов давления, направленных против движения. Опыты подтверждают правильность этих утверждений.

В данной работе мы ставим себе целью рассмотреть вопрос о происхождении турбулентности с физической точки зрения. Мы находим, что компоненты тензора вязких напряжений, выведенных на основании кинетической теории материи, нуждаются в пересмотре.

2. ОБ ОСОБЕННОСТЯХ ПРИМЕНЕНИЯ МАТЕМАТИКИ НЕПРЕРЫВНЫХ ФУНКЦИЙ К ГИДРОДИНАМИКЕ



Математической моделью движения реальной жидкости являются уравнения Навье-Стокса, однако надо уточнить смысл некоторых математических операций, фигурирующих в этих уравнениях и связанных с дискретным строением жидкого континуума. Математики, занимающиеся механикой сплошных сред, часто полагают, что дифференциалы координат и времени (dx, dy, dz, dt) можно рассматривать в смысле математики непрерывных функций. Однако кинетическая теория материи рассматривает среднюю длину свободного пробега молекулы газа $\bar{\lambda}$ (среднее расстояние между соударяющимися молекулами капельной жидкости $\bar{\delta}$) и среднюю скорость теплового (хаотического) движения молекул газа \bar{c} (средняя скорость теплового колебания молекул капельной жидкости). $\frac{\bar{\lambda}}{\bar{c}} = \bar{\delta} \tau$ представляет собой среднее время между двумя последующими столкновениями молекул.

Рассматривать расстояния порядка $\bar{\lambda}$ или $\bar{\delta}$ с точки зрения гидромеханики и требовать соответствия опытных результатов с интегралами уравнения Навье-Стокса вряд ли имеет какой-либо смысл. Точно так же рассматривать промежутки времени, меньшие чем $\bar{\delta} \tau$ или сравниваемые с ним, не имеет смысла. Поэтому операции математики непрерывных функций надо применять к гидродинамике с большой осторожностью.

К сказанному следует еще добавить, что понятие средней длины свободного пробега молекул газа $\bar{\lambda}$ или среднее расстояние между молекулами капельной жидкости и их средняя скорость не могут полностью представить нам сложную картину молекулярных движений ввиду широкого диапазона изменения тепловых скоростей отдельных молекул, который дается формулой распределения Максвелла:

$$dn = \frac{4}{\sqrt{\pi}} n \frac{c^2}{c_B^2} e^{-\frac{c^2}{c_B^2}} \frac{dc}{c_B},$$

где c_B - наиболее вероятная скорость ($c_B = \sqrt{\frac{2RT}{m}}$, где T - абсолютная температура, m - масса молекулы), c - средняя квадратичная скорость, n - количество всех молекул, а dn - число молекул, обладающих скоростями в пределах c и $c+dc$. Резюмируя вышесказанное, мы в дальнейшем будем полагать, что под dx, dy, dz надо понимать длины, много раз превосходящие $\bar{\sigma}$ или $\bar{\sigma}$. Такое допущение необходимо для того, чтобы устремить флуктуации рассматриваемых величин практически к нулю.

Точно так же под dt должны рассматривать промежутки времени, много раз превосходящие промежутков

$$\bar{\tau} = \frac{\bar{\sigma}}{\bar{c}} = \frac{1}{\bar{\nu}},$$

где $\bar{\tau}$ - среднее время пребывания молекул у одних и тех же временных положений равновесия (время релаксации), $\bar{\sigma}$ - среднее расстояние между двумя временными положениями равновесия, около которых молекула совершает тепловые колебания, \bar{c} - средняя скорость поступательного движения молекулы капельной жидкости. Путь, пройденный в среднем за секунду - $\bar{c} = \frac{\bar{\sigma}}{\bar{\tau}} = \bar{\sigma} \bar{\nu}$, который фактически будет загагообразным, чем и объясняется незначительность скорости диффузии в капельных жидкостях. $\bar{\nu} = \frac{1}{\bar{\tau}}$ показывает сколько раз в среднем за одну секунду молекула капельной (несжимаемой) жидкости меняет положение в пространстве и расстоянии $\bar{\sigma}$.

Приведем в качестве примера порядки величины $\bar{\tau}$, $\bar{\sigma}$ и \bar{c} для воды при температуре $T \approx 300^\circ$. $\bar{\tau} \approx 10^{-11}$ сек. $\bar{\sigma} = 3 \text{ \AA} = 3 \cdot 10^{-8}$ см. $\bar{c} = \frac{\bar{\sigma}}{\bar{\tau}} \approx 3 \cdot 10 \frac{\text{см}}{\text{сек}} = 30 \frac{\text{м}}{\text{сек}}$.

3. О НАПРЯЖЕННЫХ ПРИ ТУРБУЛЕНТНОМ ТРЕНИИ И КОМПОНЕНТАХ ТЕНЗОРА СКОРОСТЕЙ ДЕФОРМАЦИИ ЖИДКОСТИ

Если в неподвижной жидкости мысленно проведем какую-нибудь поверхность, выделим на ней участок ds и подсчитаем число молекул, прошедших в среднем с обеих сторон через ds , получим

$$dn \approx \frac{1}{6} n \bar{c} ds dt, \quad (3.1)$$

где \bar{c} — средняя скорость теплового движения, n — количество молекул в любой части жидкости или газа (постоянство концентрации молекул). Умножив (3.1) на массу одной молекулы, получим массу, проникшую с каждой стороны через ds

$$dm \approx \frac{1}{6} \rho \bar{c} ds dt, \quad (3.2)$$

где ρ — плотность жидкости.

Единственная внутренняя сила, которая осуществляет равновесие газов и капельных жидкостей, есть градиент давления, равный нулю при отсутствии внешних сил (закон Паскаля). При движении жидкой среды характер взаимодействия частиц усложняется и взаимодействию частиц соответствует тензор напряжения (тензор вязких направлений).

При выводе формул для компонентов тензора скоростей деформации полагают, что при тепловом движении частиц несжимаемой жидкости массы, "проникшей" с каждой стороны через произвольную площадь ds , молекулы равны между собой. Из этого допущения вытекает пропорциональность "пронесенного" через ds импульса произведению массы соударяющихся молекул на значение градиента импульса в точках поверхности ds , помноженному на среднее расстояние поступательного движения молекул капельной жидкости \bar{l} (на среднее расстояние $\bar{\lambda}$ для молекул газа).

В основу дальнейших рассуждений мы положим очевидное допущение, что молекулы жидкости между столкновениями двигаются со скоростью, которая складается из тепловой и макроскопической скоростей. При этом макроскопическая (общая для всех частиц) может меняться от точки к точке.

При изотермическом движении капельной жидкости среднее значение тепловой скорости можно полагать постоянным, что вытекает из огромного значения внутреннего давления, связанного с силами внутримолекулярного взаимодействия. Для воды, например, внутреннее давление имеет порядок 17 000 атмосфер, для ртути - 40 000 атмосфер.

Рассмотрим площадь ds , расположенную нормально к оси Oy . Пусть в точках этой площади составляющая по оси Oy вектора макроскопической скорости равна V_y , а составляющая по оси Ox той же скорости равна V_x . Соударяющиеся молекулы, двигаясь поступательно по оси Oy со скоростью $\bar{c} + V_y - \frac{\partial V_y}{\partial y} \bar{y}$ от площадки ds' , расположенной на оси Oy в точке $y - \bar{y}$ параллельно ds , перенесут скорость, параллельную оси Ox : $V_x - \frac{\partial V_x}{\partial y} \bar{y}$. Принимая, ради простоты, что $\frac{1}{6}$ всех молекул, вышедших из ds' движется параллельно оси Oy , для параллельного оси Ox количества движения, перенесенного молекулами через ds за время dt , получим:

$$\frac{1}{6} n n (\bar{c} + V_y - \frac{\partial V_y}{\partial y} \bar{y}) (V_x - \frac{\partial V_x}{\partial y} \bar{y}) ds dt, \dots \quad (3.3)$$

где n - количество молекул в единице объема, а m - масса молекулы. Принимая во внимание, что $n m = \rho$ - плотность жидкости и деля на $ds dt$, для составляющей импульса по оси Ox , перенесенного параллельно оси Oy , приходящейся на единицу площади и единицу времени (напряжение), получим:

$$\frac{1}{6} \rho (\bar{c} + V_y - \frac{\partial V_y}{\partial y} \bar{y}) (V_x - \frac{\partial V_x}{\partial y} \bar{y}) \approx \frac{1}{6} \rho (\bar{c} V_x - \frac{\partial V_x}{\partial y} \bar{y} + V_y V_x - V_y \frac{\partial V_x}{\partial y} \bar{y} - V_x \frac{\partial V_y}{\partial y} \bar{y}) \dots \quad (3.4)$$



(здесь отброшено слагаемое при множителе $\bar{\sigma}^2$ второго порядка по сравнению с $\bar{\sigma}$).

Точно так же, для составляющей по оси Ox импульса, перенесенного через ds молекулами, пришедшими от площади ds' , расположенной на оси Oy в точке $y + \bar{\sigma}$ параллельно ds ,

приходящейся на единицу площади и единицу времени, получим: *

$$\frac{1}{6} \rho (\bar{c} - v_y - \frac{\partial v_y}{\partial y} \bar{\sigma}) (v_x + \frac{\partial v_x}{\partial y} \bar{\sigma}) \approx \frac{1}{6} \rho (\bar{c} v_x + \bar{c} \frac{\partial v_x}{\partial y} \bar{\sigma} - v_y v_x - v_y \frac{\partial v_x}{\partial y} \bar{\sigma} - v_x \frac{\partial v_y}{\partial y} \bar{\sigma}) \dots \quad (3.5)$$

Избыточный перенос составляющей по оси Ox количества движения через единицу площади, расположенной параллельно оси Ox , приходящейся на единицу времени, равен касательному напряжению f_{yx} , приложенному к площадке, которое получим вычтя (3.4) из (3.5), что даст:

$$f_{yx} = -\frac{1}{3} \rho v_y v_x + \frac{1}{3} \rho \bar{c} \bar{\sigma} \frac{\partial v_x}{\partial y} = -\frac{1}{3} \rho v_x v_y + \mu \frac{\partial v_x}{\partial y} \dots \quad (3.6)$$

где слагаемое $\mu \frac{\partial v_x}{\partial y}$ представляет собою известное касательное напряжение молекулярного трения Ньютона.

Что касается слагаемого $-\frac{1}{3} \rho v_y v_x$, то можно сказать, что оно связано с переносом количества движения от молярного движения жидкости и поэтому может быть названо напряжением молярного трения, которое происходит от эффекта сложения тепловой скорости с молярной скоростью и около неподвижных твердых стенок равно нулю.

Если в какой-либо точке многомерного потока составляющая скорости по какой-либо оси равна нулю, то в той же точке соответствующее той же оси касательное напряжение молярного трения тоже равно нулю. Точно так же касательное напряжение, приложенное к площадке, расположенной перпендикулярно к оси Oy и связанное со скоростью v_y будет

$$f'_{xy} = \mu \frac{\partial v_y}{\partial x} = \frac{1}{3} \rho \bar{c} \frac{\partial v_y}{\partial x} \dots \quad (3.7)$$

На основании (3.6) и (3.7) суммарное касательное напряжение,

приложенное к единице плоской площадки, расположенной в плоскоо-
ти xy , получится равным:

$$\tau_{xy} = \tau_{yx} = -\frac{1}{3}\rho v_x v_y + \mu \left(\frac{\partial v_x}{\partial y} + \frac{\partial v_y}{\partial x} \right) \dots \quad (3.8),$$

что отличается от известной в гидродинамике формулы слагаемым $-\frac{1}{3}\rho v_x v_y$, которое было названо нами напряжением молянного трения.

Рассуждая таким же образом, для касательных к компонентом тензора скоростей деформации вязкой несжимаемой жидкости будем иметь:

$$\begin{aligned} \tau_{xz} = \tau_{zx} &= -\frac{1}{3}\rho v_x v_z + \mu \left(\frac{\partial v_x}{\partial z} + \frac{\partial v_z}{\partial x} \right) \\ \tau_{yz} = \tau_{zy} &= -\frac{1}{3}\rho v_y v_z + \mu \left(\frac{\partial v_y}{\partial z} + \frac{\partial v_z}{\partial y} \right) \dots \dots \dots \end{aligned} \quad (3.9)$$

Выведем теперь выражения для нормальных составляющих тензора напряжений вязкой несжимаемой жидкости. Положим, что площадь ds расположена нормально к оси Ox и составляющая по оси Ox вектора средней макроскопической скорости в точках этой площади равна \bar{v}_x . Соударяющиеся молекулы, двигающиеся поступательно параллельно оси Ox со скоростью $\bar{c} + v_x - \frac{\partial v_x}{\partial x} \bar{\sigma}$ от площадки ds' , расположенной на оси Ox в точке $x - \bar{\sigma}$ параллельно ds за время dt , перенесут через ds импульс,

равный $\frac{1}{6}\rho \left[\bar{c} + v_x - \frac{\partial v_x}{\partial x} \bar{\sigma} \right]^2 ds dt \approx \frac{ds dt}{6} \rho \left\{ \bar{c}^2 + v_x^2 + 2\bar{c}v_x - 2\bar{c} \frac{\partial v_x}{\partial x} \bar{\sigma} - 2v_x \frac{\partial v_x}{\partial x} \bar{\sigma} \right\}$
ибо $\bar{\sigma}^2$ очень малая величина.

Составляющая же по оси Ox импульса, перенесенного через ds молекулами, "пришедшими" от площадки ds' , расположенной на оси Ox в точке $x + \bar{\sigma}$ параллельно ds за время dt ,

будет $\frac{1}{6}\rho ds dt \left[\bar{c} - v_x - \frac{\partial v_x}{\partial x} \bar{\sigma} \right]^2 \approx \frac{ds dt}{6} \rho \left\{ \bar{c}^2 + v_x^2 - 2\bar{c}v_x - 2\bar{c} \frac{\partial v_x}{\partial x} \bar{\sigma} + 2v_x \frac{\partial v_x}{\partial x} \bar{\sigma} \right\}$

Если принять молекулы за твердые упругие шары, то после каждого удара они будут обмениваться импульсами, что для нормаль-

ного напряжения даст:

$$\frac{1}{6} \rho [\bar{c}^2 + V_x^2 + 2\bar{c}V_x - 2\bar{c} \frac{\partial V_x}{\partial x} \bar{\delta} - 2V_x \frac{\partial V_x}{\partial x} \bar{\delta}] - [\frac{1}{6} \rho (\bar{c}^2 + V_x^2 + 2\bar{c}V_x - 2\bar{c} \frac{\partial V_x}{\partial x} \bar{\delta} + 2V_x \frac{\partial V_x}{\partial x} \bar{\delta})] = \frac{1}{6} \rho [2\bar{c}^2 + 2V_x^2 - 4\bar{c} \frac{\partial V_x}{\partial x} \bar{\delta}].$$

Таким образом, для нормального напряжения, приложенного к площадке, расположенной нормально к оси Ox , получим:

$$F_{xx} = -p - \frac{1}{3} \rho V_x^2 + 2\mu \frac{\partial V_x}{\partial x} \dots \dots \dots (3.10)$$

Точно так же будем иметь:

$$F_{yy} = -p - \frac{1}{3} \rho V_y^2 + 2\mu \frac{\partial V_y}{\partial y}$$

$$F_{zz} = -p - \frac{1}{3} \rho V_z^2 + 2\mu \frac{\partial V_z}{\partial z} \dots \dots \dots (3.10)$$

4. ВЫВОД ДИФФЕРЕНЦИАЛЬНЫХ УРАВНЕНИЙ ДВИЖЕНИЯ ВЯЗКОЙ НЕСЖИМАЕМОЙ ЖИДКОСТИ

Проектируя общее уравнение движения сплошной среды на осях координат и обозначая проекции массовой силы через X, Y, Z , получаем:

$$\frac{dV_x}{dt} = X + \frac{1}{\rho} \left(\frac{\partial F_{xx}}{\partial x} + \frac{\partial F_{yx}}{\partial y} + \frac{\partial F_{zx}}{\partial z} \right)$$

$$\frac{dV_y}{dt} = Y + \frac{1}{\rho} \left(\frac{\partial F_{xy}}{\partial x} + \frac{\partial F_{yy}}{\partial y} + \frac{\partial F_{zy}}{\partial z} \right)$$

$$\frac{dV_z}{dt} = Z + \frac{1}{\rho} \left(\frac{\partial F_{xz}}{\partial x} + \frac{\partial F_{yz}}{\partial y} + \frac{\partial F_{zz}}{\partial z} \right)$$

что на основании (3.8), (3.9), (3.10) и равенства $\text{div } \vec{V} = 0$

даст

$$\frac{\partial V_x}{\partial t} + \frac{4}{3} (V_x \frac{\partial V_x}{\partial x} + V_y \frac{\partial V_x}{\partial y} + V_z \frac{\partial V_x}{\partial z}) = X - \frac{1}{\rho} \frac{\partial p}{\partial x} + \nu \Delta V_x$$

$$\frac{\partial V_y}{\partial t} + \frac{4}{3} (V_x \frac{\partial V_y}{\partial x} + V_y \frac{\partial V_y}{\partial y} + V_z \frac{\partial V_y}{\partial z}) = Y - \frac{1}{\rho} \frac{\partial p}{\partial y} + \nu \Delta V_y$$

$$\frac{\partial V_z}{\partial t} + \frac{4}{3} (V_x \frac{\partial V_z}{\partial x} + V_y \frac{\partial V_z}{\partial y} + V_z \frac{\partial V_z}{\partial z}) = Z - \frac{1}{\rho} \frac{\partial p}{\partial z} + \nu \Delta V_z \quad (4.1)$$



Присоединяя к этим уравнениям уравнения неразрывности несжимаемой жидкости

$$\frac{\partial V_x}{\partial x} + \frac{\partial V_y}{\partial y} + \frac{\partial V_z}{\partial z} = 0$$

получим систему четырех уравнений с четырьмя неизвестными, которые отличаются от уравнений Навье-Стокса множителем $\frac{4}{3}$, стоящим при конвекционных слагаемых ускорения. В векторной форме уравнения (4.1) запишутся в виде:

$$\frac{\partial \vec{V}}{\partial t} + \frac{4}{3}(\vec{V}, \nabla)\vec{V} = \vec{F} - \frac{1}{\rho} \text{grad } p + \nu \Delta \vec{V} \quad (4.2)$$

5. ЗАКЛЮЧЕНИЕ

Рассматривая формулы (3.8), (3.9) и (3.10) можно заметить, что компоненты тензора вязких напряжений состоят из двух слагаемых. Первое слагаемое пропорционально квадрату скорости и плотности жидкости, а второе пропорционально производным от компонентов скорости по координатам и коэффициенту молекулярного трения.

В точках неподвижных твердых тел первое слагаемое равно нулю (в силу прилипания к нему жидкости) и касательные напряжения принимают обычный вид, соответствующий молекулярному трению. На расстоянии от твердой поверхности расстояния первое слагаемое при многомерных потоках во много раз может превосходить второе. Такое поведение касательных напряжений качественно согласуется с их поведением при турбулентных течениях.

Количественные выводы можно сделать после интегрирования системы (4.1), что связано со значительными математическими трудностями. Однако (4.1) показывают, что одномерные потоки несжимаемой жидкости не могут быть турбулентными.

(Поступило 1. XII. 1975)

Кафедра
механики сплошных сред

ЛИТЕРАТУРА

1. Е.А. Штрауф, Молекулярная физика. М.-Л., 1949.
2. Я.И. Френкель, Собрание избранных трудов, т. II, Издательство АН СССР, 1958.
3. Н.Е. Кочин, И.А. Кибель, Н.В. Розе, Теоретическая гидромеханика, тт. I и II, М.-Л., 1948.
4. Л.Г. Лойцянский, Механика жидкости и газа, М., 1959.
5. Д.Л. Гурвич, Н.З. Френкель, Гидравлика, М.-Л., 1940.
6. Бай Ши-и, Турбулентное течение жидкостей и газов, М., 1962.
7. L. Prandtl, O. Tietjens, Gleichgewicht und Reibungslose Bewegung, 1922.
8. L. Prandtl, O. Tietjens, Bewegung Reibender Flüssigkeiten und technische Anwendungen, 1931.
9. L. Schiller, Strömung in Rohren, 1932.

ნ. პატარაია

ძალის სიძაბვის ტურბულენტური ხახუნის მიხედვით სპინის

რ ე ბ ი უ მ ე

სტატისტიკური ახსნის ტურბულენტური მხევი ძაბვების წარმოქმნის მიუხედავად მათგანის კინეტიკური თეორიის შედგენისათვის.

ტურბულენტური ხახუნის რჩის მხევი და წარმავური ძაბვებისათვის გამოყვანილია შემდეგი ფორმულები:

$$\begin{aligned}
 F_{xx} &= -\rho - \frac{1}{3}\rho V_x^2 + 2\mu \frac{\partial V_x}{\partial x}, & F_{yy} &= -\rho - \frac{1}{3}\rho V_y^2 + 2\mu \frac{\partial V_y}{\partial y}, & F_{zz} &= -\rho - \frac{1}{3}\rho V_z^2 + 2\mu \frac{\partial V_z}{\partial z}, \\
 T_{xy} = T_{yx} &= -\frac{1}{3}\rho V_x V_y + \mu \left(\frac{\partial V_x}{\partial y} + \frac{\partial V_y}{\partial x} \right), & T_{xz} = T_{zx} &= -\frac{1}{3}\rho V_x V_z + \mu \left(\frac{\partial V_x}{\partial z} + \frac{\partial V_z}{\partial x} \right), \\
 T_{yz} = T_{zy} &= -\frac{1}{3}\rho V_y V_z + \mu \left(\frac{\partial V_y}{\partial z} + \frac{\partial V_z}{\partial y} \right).
 \end{aligned}$$

მიღებულია ძალის უკუმი სიხის მოძრაობის ფორმულიანი განმარტებები ძაბვების შემთხ მიხედვით გეგმილების შესაბამისად და მოცემულია მხევი ძაბვების ფორმულებში ავტორის მიერ მიღებული რამატივიტი წევრების შესწრისი ანალიზი.

N. Patariaia

 SOME QUESTIONS OF TURBULENT
 FRICTION IN VISCOUS FLUID

Summary

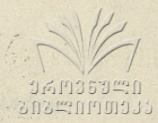
The mechanism of the formation of turbulent contiguous voltage is explained from the viewpoint of the kinetic theory of matter.

The author has derived the following formulae for the voltage under turbulent friction:



$$\begin{aligned}
 F_{xx} &= -\rho \frac{1}{3} \rho V_x^2 + 2\mu \frac{\partial V_x}{\partial x}, \quad F_{yy} = -\rho \frac{1}{3} \rho V_y^2 + 2\mu \frac{\partial V_y}{\partial y}, \quad F_{zz} = -\rho \frac{1}{3} \rho V_z^2 + 2\mu \frac{\partial V_z}{\partial z}, \\
 F_{xy} &= F_{yx} = -\frac{1}{3} \rho V_x V_y + \mu \left(\frac{\partial V_x}{\partial y} + \frac{\partial V_y}{\partial x} \right), \\
 F_{xz} &= F_{zx} = -\frac{1}{3} \rho V_x V_z + \mu \left(\frac{\partial V_x}{\partial z} + \frac{\partial V_z}{\partial x} \right), \\
 F_{yz} &= F_{zy} = -\frac{1}{3} \rho V_y V_z + \mu \left(\frac{\partial V_y}{\partial z} + \frac{\partial V_z}{\partial y} \right).
 \end{aligned}$$

Differential equations of the motion of the viscous incompressible liquid are also derived in accordance with the above - mentioned voltage projection and a qualitative analysis is given of additional members in the contiguous voltage formulae derived by the author.



პარალელურ ფორმულაზე მონის ძვანთი სიძხვის სტატიონარული

მიძრაობის შესახებ

ნ. ჯორჯიანი

განვიხილოთ ძვანთი უკუმიწი სიძხვის სტატიონარული მიძრაობა წრე პერიოდული პარალელურ ფორმულაზე ფორმულაზე ფორმულაზე მონის.

ესევეა ევრა ფორმულა უძრავია, ხოლო ბერა უახლოვდება ევრა ფორმულას მსგებრილი U_x - მუდმივი სიჩქარით. იტყვიანბნება, რომ ბერა ფორმულა გადატანით მიძრაობასთან უნდაა ბრუნავს პერპენდიკულარული რადიუსის ცენტრში მუდმივი ω კუბური სიჩქარით და აგრეთვე ფორმულაზე ფორმულაზე მონის სიძხვის გაქროვის კანონი ეწოდება.

აღნიშნული ამოცანა იმ შემთხვევაში, როცა ბერა ფორმულა ასრულებს მხოლოდ გადატანით მიძრაობას, შეესაფერება /1,2/-მონებში.

ვისარგებლეთ ცილინდრული კოორდინატთა სისტემით, რომლის სათავე შევსავსოთ ევრა ფორმულის ცენტრს, ხოლო Oz ღერძი მივმართოთ ფორმულაზე მონის მარტობულად ბერით.

ფორმულაზე მონის მოხავებული სიძხვის მიძრაობა იქნება ღერძ-სიმიტრიული, ამიტომ მასობრივი ძალების უკუღებრეფოფის შემდეგ ძვანთი უკუმიწი სიძხვის მიძრაობის რეფრენციულური განტოლებები მიიღებს შემდეგ სახეს

$$U_x \frac{\partial U_x}{\partial x} + U_x \frac{\partial U_x}{\partial z} - \frac{U_x^2}{2} = -\frac{1}{\rho} \frac{\partial P}{\partial x} + \nu \left(\frac{\partial^2 U_x}{\partial x^2} + \frac{\partial^2 U_x}{\partial z^2} + \frac{1}{x} \frac{\partial U_x}{\partial x} - \frac{U_x}{x^2} \right), \quad //$$

$$U_x \frac{\partial U_y}{\partial x} + U_x \frac{\partial U_y}{\partial z} + \frac{U_x U_y}{2} = \nu \left(\frac{\partial^2 U_y}{\partial x^2} + \frac{\partial^2 U_y}{\partial z^2} + \frac{1}{x} \frac{\partial U_y}{\partial x} - \frac{U_y}{x^2} \right),$$

$$U_x \frac{\partial U_z}{\partial x} + U_x \frac{\partial U_z}{\partial z} = -\frac{1}{\rho} \frac{\partial P}{\partial z} + \nu \left(\frac{\partial^2 U_z}{\partial x^2} + \frac{\partial^2 U_z}{\partial z^2} + \frac{1}{x} \frac{\partial U_z}{\partial x} \right),$$

$$\frac{\partial U_x}{\partial x} + \frac{\partial U_x}{\partial z} + \frac{U_x}{x} = 0,$$

სადაც U_x, U_y და U_z სიძხვის სიჩქარის კომპონენტებია, ρ - სიძხვის, ν - სიძხვის სიძვანთის კონვიანტიკური კოეფიციენტი, ρ - სიძვანტიკური.



սուրճարանի յոմոգենիզմի սահմանի ճշգրիտ ժամկետի սահմանափակումը:

$$U_2|_{z=0} = U_y|_{z=0} = 0, \quad U_z|_{z=0} = -U_0 \quad 12/$$

$$U_2|_{z=h} = 0, \quad U_y|_{z=h} = 2\omega, \quad U_z|_{z=h} = -U_1, \quad (U_1 = U_2 - U_3),$$

սահման h մասնավորապես օրինակներով թողնենք, U_0 և U_3 ճշգրիտ սուրճարան, U_2 և U_3 ճշգրիտ օրինակներով թողնենք, U_2 յո ճշգրիտ օրինակներով թողնենք մոտադրման սուրճարան:

Բացի այդ, համարենք սուրճարանի U_z մոտադրվող բաղադրանքներով

2 - ճշ, երբ U_y և U_z մոտադրվում են 2 - նի ճշգրիտ օրինակներով /3/

$$U_y = 2U(x)$$

$$U_z = U(x) \quad 13/$$

/1/ սուրճարանի մոտադրվող բաղադրանքներով, որոնք

$$U_z = -\frac{2}{z} \frac{dU}{dz} \quad 14/$$

/3/ և /4/ օրինակներով ժամկետ /1/ բաղադրանքներով սուրճարան և /2/ սահմանափակումը յոմոգենիզմի ժամկետներով թողնենք:

$$U \frac{d^4 U}{dz^4} = U \frac{d^3 U}{dz^3} - 4U \frac{dU}{dz}, \quad 15/$$

$$U \frac{d^2 U}{dz^2} = U \frac{dU}{dz} - U \frac{dU}{dz}, \quad 16/$$

$$U|_{z=0} = -U_0, \quad \frac{dU}{dz}|_{z=0} = 0, \quad U|_{z=h} = -U_1,$$

$$\frac{dU}{dz}|_{z=h} = 0, \quad U|_{z=0} = 0, \quad U|_{z=h} = \omega. \quad 17/$$

U և U^2 յոմոգենիզմի օրինակներով թողնենք, որոնք օրինակներով թողնենք սուրճարանի յոմոգենիզմի ժամկետներով թողնենք /4/:

$$U = F(x) + \int_0^h [U \frac{d^3 U}{dz^3} - 4U \frac{dU}{dz}] G(x, \eta) d\eta, \quad 18/$$

$$v = \Phi(x) + \int_0^h [v \frac{dv}{d\eta} - v \frac{dv}{d\eta}] H(x, \eta) d\eta,$$

սարս

$$\Phi(x) = \frac{v}{h} x,$$

$$G(x, \eta) = \begin{cases} \frac{1}{6} x^2 (\eta - h)^2 (2xh + x - 3\eta), & x < \eta \\ \frac{1}{6} \eta^2 (x - h)^2 (2x\eta + \eta - 3x), & x \geq \eta \end{cases}$$

$$H(x, \eta) = \begin{cases} (h - \eta)x, & x < \eta, \\ (h - x)\eta, & \eta \leq x. \end{cases}$$

այ սեղա /Յ/ ճանճողըմաս ճաղմնահմողմ ճ - ու սամչըր, եողր /9/-ն յրտեյը, մսմին $u, v, \frac{dv}{dx}, \frac{dv}{dx}$ րս $\frac{d^3u}{dx^3}$ յսրմոն ճըրըյո- յմին ճանսսամըրըսյար միոյողմ թյմըղոն ոնճըրսըր ճանճողըմաս սոնճը- մս

$$u = F(x) + \int_0^h [v \frac{d^3u}{d\eta^3} - 4v \frac{dv}{d\eta}] G(x, \eta) d\eta,$$

$$v = \Phi(x) + \int_0^h [v \frac{dv}{d\eta} - v \frac{dv}{d\eta}] H(x, \eta) d\eta,$$

$$\frac{dv}{dx} = \frac{dF}{dx} + \int_0^h [v \frac{d^3u}{d\eta^3} - 4v \frac{dv}{d\eta}] \frac{\partial G}{\partial x} d\eta,$$

1101

$$\frac{dv}{dx} = \frac{d\Phi}{dx} + \int_0^h [v \frac{dv}{d\eta} - v \frac{dv}{d\eta}] \cdot \frac{\partial H}{\partial x} d\eta,$$

$$\frac{d^3u}{dx^3} = \frac{d^3F}{dx^3} + \int_0^h [v \frac{d^3u}{d\eta^3} - 4v \frac{dv}{d\eta}] \frac{\partial^3 G}{\partial x^3} d\eta.$$

/ 10 / Սոստեմին մատրիար զանրիհրոտ սոստեմա σ^k յարմար
 հոտ ոնտրոլորի ճըրքոնի ճոն, հոմիլոնզանս, հոսս $\sigma^k = 1$, մոնդըմա
 / 10 / ըս յընոմն զընթըլոն յըմընոտ մըքրոնընի սանոտ:

$$U = \sum_{\kappa=1}^{\infty} \sigma^{\kappa} U_{\kappa}, \quad V = \sum_{\kappa=1}^{\infty} \sigma^{\kappa} V_{\kappa}, \quad \frac{dU}{d\xi} = \sum_{\kappa=1}^{\infty} \sigma^{\kappa} W_{\kappa}, \quad / 11 /$$

$$\frac{dU}{d\xi} = \sum_{\kappa=1}^{\infty} \sigma^{\kappa} X_{\kappa}, \quad \frac{d^3 U}{d\xi^3} = \sum_{\kappa=1}^{\infty} \sigma^{\kappa} Y_{\kappa}.$$

/ 11 / մըքրոնի յոմադրոնտն զանսանոմոլորնըս մոնոլըմոտ մըմ-
 ընո հըսընտըր հոնմըլըն:

$$U_0 = F, \quad V_0 = \Phi, \quad W_0 = \frac{dF}{d\xi}, \quad X_0 = \frac{d\Phi}{d\xi}, \quad Y_0 = \frac{d^3 F}{d\xi^3},$$

$$U_{\kappa+1} = \int \sum_{m=0}^{\kappa} [U_m Y_{\kappa-m} - 4V_m X_{\kappa-m}] G(\xi, \eta) d\eta,$$

$$V_{\kappa+1} = \int \sum_{m=0}^{\kappa} [U_m X_{\kappa-m} - V_m W_{\kappa-m}] H(\xi, \eta) d\eta, \quad / 12 /$$

$$W_{\kappa+1} = \int \sum_{m=0}^{\kappa} [U_m Y_{\kappa-m} - 4V_m X_{\kappa-m}] \frac{\partial G}{\partial \xi} d\eta,$$

$$X_{\kappa+1} = \int \sum_{m=0}^{\kappa} [U_m X_{\kappa-m} - V_m W_{\kappa-m}] \frac{\partial H}{\partial \xi} d\eta;$$

$$Y_{\kappa+1} = \int \sum_{m=0}^{\kappa} [U_m Y_{\kappa-m} - 4V_m X_{\kappa-m}] \frac{\partial^3 G}{\partial \xi^3} d\eta.$$

/ 11 / մըքրոնի յըմարոնի ըսանոմոլորնըս յոնոմոլորոտ ոք-
 յոնոնի մըսորոտ / 5 /; / 12 / հոնմըլընի ժարոտ / 13 / մըքրոնի մաթո-
 հանտըր մըքրոն: յընըմա մըմըլըն սանը:

$$D = \sum_{\kappa=0}^{\infty} \delta^{\kappa} D_{\kappa},$$

/ 13 /

სადა

$$D_{\kappa+1} = 5M \sum_{m=0}^{\infty} D_m D_{\kappa},$$

$$|F|, |\Phi|, \left| \frac{dF}{dz} \right|, \left| \frac{d\Phi}{dz} \right|, \left| \frac{d^3 F}{dz^3} \right| \leq D_0,$$

$$\int_0^h \left| \frac{\partial^i G}{\partial z^i} \right| d\eta, \int_0^h \left| \frac{\partial^j H}{\partial z^j} \right| d\eta \leq M;$$

$$(i=0,1,3; j=0,1)$$

როცა /13/ მწკრივი კრებადია, მაშინ D აკმაყოფილებს შებენი

თანტოლებას:

$$D = D_0 + 5M\delta D^2$$

/ 14 /

/ 14 / ტანტოლებას ნამდვილი ამონხნა მხლოდ, მაშინ აქვს, როცა

$$20M\delta D_0 < 1$$

/ 15 /

/14/-დან ცხადია, რომ

$$D = \frac{1}{10\delta M} (1 - \sqrt{1 - 20\delta M D_0}).$$

ეს ახლა უკანასკნელი გამოსახულების მარჯვენა მხარეში მდგომ წევრს ტავილით მწკრივად, /15/ პირობის ტალით მივიღებთ ამბოლუტურად კრებად მწკრივს, რომელიც ემთხვევა /13/ მწკრივს. მაშასადამე /11/ მწკრივების ამბოლუტურად და განაზრად კრებადობის საკმარისი პირობა? როცა $\delta^2 = 1$, არის

$$20M D_0 < 1.$$

ეს ახლა U ფუნქციის მიქმნილ მნიშვნელობას შვეტიტანთ /1/ სინტემა-ში, წნევის ტამოსათველად მივიღებთ შებენი ფორმულას:

$$P - P_0 = \int_0^z \left[\nu \rho \frac{d^2 u}{dz^2} - \rho u \frac{du}{dz} \right] dz.$$

მოლოდელი მექანიკის კათედრა

(მიღებულია 25.IV.1975)

СНУС/УСЗ/У

1. С.М.Тарг, Основные задачи теории ламинарных течений.
Москва-Ленинград, 1951.
2. Н.П.Джорбенадзе, Поджатие вязкого слоя, заключенного между двумя пластинами. Труды ТГУ, т. II7, 1966.
3. Современное состояние гидродинамики вязкой жидкости, под редакцией С.Гольдштейна, т. I, 1948.
4. В.И.Смирнов, Курс высшей математики, т. IV, М., 1953.
5. F.K.G. Odqvist *Über die Randwertaufgaben der Hydrodynamik zäher Flüssigkeiten.*
Mathem. Zeitschr., 32, 1930, 329-375.

Н.П.Джорбенадзе

О СТАЦИОНАРНОМ ДВИЖЕНИИ ВЯЗКОЙ ЖИДКОСТИ
МЕЖДУ ПАРАЛЛЕЛЬНЫМИ ПЛАСТИНАМИ

Р е з ю м е

Рассматривается стационарное поджатие вязкой несжимаемой жидкости между параллельными пористыми пластинами, когда нижняя пластина неподвижна, а верхняя приближается к нижней, вращаясь с постоянной угловой скоростью. Найлены законы распределения скорости и давления.

N. Jorbenadze

ON THE STEADY MOTION OF A VISCOUS
FLUID BETWEEN PARALLEL PLATES

Summary

Steady*compression of a viscous incompressible fluid between parallel porous plates is considered for the case when the lower plate is fixed while the upper approaches it at a steady angular velocity. The distribution laws of velocity and pressure have been found.

РАСПРЕДЕЛЕНИЕ НАПРЯЖЕНИЙ В ПЛАСТИНКЕ С
ПРЯМОУГОЛЬНЫМ ОТВЕРСТИЕМ, СЖАТОЙ РАВНОМЕРНО РАСПРЕ-
ДЕЛЕННЫМИ И СОСРЕДОТОЧЕННЫМИ СИЛАМИ

О.Е.Анджапаридзе, М.Н.Кукуладзе

В статье анализируются результаты исследования поляриза-
ционно-оптическим методом напряженного состояния в пластинке
при наличии в потолке скважин, просверленных нормально к конту-
ру выреза.

Эксперименты проводились на моделях из оптически активного
материала марки "ЭД-6", который характеризовался следующими оп-
тико-механическими показателями: модуль продольной упругости
 $E=29000 \text{ кг/см}^2$, коэффициент Пуассона $\nu = 0,37$, оптическая
постоянная $B^{(1,0)} = 10,2 \text{ кг/см}^2$.

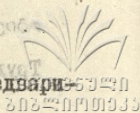
Моделями служили прямоугольные пластинки размером 140x90мм
с вырезом прямоугольной формы 30x25 мм в центре образца.

Эксперименты проводились на поляризационной установке ППУ-4.
Равномерно распределенная нагрузка передавалась с помощью прессы
УП-4.

Для создания в верхней половине пластинки сосредоточенных
сил нормально к контуру выреза вставлялись металлические стерж-
ни с резьбой на концах.

В качестве стержня использовалась стальная проволока. При
завинчивании гаек сила натяжения через небольшие опорные метал-
лические зайбы передавалась на модель, вызывая на контуре выре-
за пластинки действия двух сосредоточенных сил, равных по вели-
чине и направленных вдоль стержня в противоположные стороны.

Для измерения величины натяжений стержня нами использовал-



ся специально изготовленный динамометр /I/, который предварительно тарировался на УП-4.

Исследование проводилось в следующей последовательности:

Сначала исследовалось распределение напряжений вокруг прямоугольного выреза в пластинке при действии равномерно распределенной сжимающей нагрузки с интенсивностью $P = 43 \text{ кг/см}^2$ (рис.1а).

В тех же условиях на той же пластинке исследовалось напряжение после сверловки (рис.1б).

Сопоставление полученных результатов позволили отметить влияние выреза на перераспределении напряжений вокруг контура отверстия.

Для проверки результаты эксперимента сопоставлялись с теоретическими расчетами.

Исследования по схеме 1б показали, что при наличии в потолке окважин, просверленных к поверхности выреза, при принятом соотношении сторон особенных изменений в распределении напряжений вокруг контура не наблюдаются.

Затем исследовалось напряжение в пластинке и вокруг выреза прямоугольной формы под действием сосредоточенных сил, вызванных натяжением стержней при трех значениях распора ($N = 42 \text{ кг}$, 60 кг и 78 кг) (рис.1в).

Картина изоклин и изостат при натяжении штанг силой $N = 78 \text{ кг}$ изображена на рис.2.

Получены также картины полос для других значений сил натяжения стержней.

На рис.3 дана картина полос при натяжении стержня силой $N = 76 \text{ кг}$.

Главные нормальные напряжения вдоль вертикальной оси симметрии в пластинке определялись методом графического интегрирования. Эпюры нормальных напряжений для двух значений сил распора приве-

дены на рис. 4 и 5.

Эпюры главных нормальных напряжений вдоль вертикальной оси симметрии изображены на рис. 6 и 7.

Анализируя полученные данные отметим, что устройство крепи оказывает определенное влияние в перераспределении нормальных напряжений по вырезам пластинки. Значительные изменения нормальных и касательных напряжений происходят в той части отверстия, где устроены штанги.

При увеличении натяжений область влияния штанговой крепи практически не возрастает, а увеличиваются давление между слоями и вертикальные нормальные напряжения σ_y . Значительное влияние на область действия главных напряжений оказывает длина штанг.

При натяжении штанг $N=40$ кг максимальная величина σ_y составляет 1,4 полос, а при $N=76$ кг оно составляет 2,7 полос, т.е. почти в два раза больше.

В нижней части выреза изменение напряжений от натяжений штанг не наблюдается.

Преобладающее значение имеют растягивающие напряжения на контуре выреза и вблизи него. Эти напряжения быстро убывают с удалением точки от контура. На расстоянии $a/h = 0,2$ (a - ширина выреза, h - высота пластинки) имеем изотропную точку.

Вслед за этой точкой напряжение становится сжимающим и на расстоянии $a/h = 0,5$ усилие вновь меняет знак. В дальнейшем напряжение быстро нарастает и достигает максимального значения в середине площади, охватываемой зажимами. Затем наблюдается снижение этого напряжения, которое при расстоянии $a/h = 1,5$ от контура выреза полностью исчезает.

Абсолютные величины этих напряжений так же изменяются в зависимости от силы распора. Изменение сил распоре распространяется лишь в пределах действия сосредоточенных сил.



При совместном действии равномерно распределенных доточенных сил по вертикальному оси симметрии имеем горизонтальные растягивающие напряжения, которые достигают максимальных значений на самом контуре выреза по середине области, охватываемой штангами.

(Поступило 20.XII.1975)

Кафедра
теоретической механики

ლიტერატურა

1. М.Н.Кукуладзе, О.Е.Анджапаридзе, А.Тополкаров, Труды Тбилисского университета, т.110, 1965.
2. В.Ф.Трумбачев, Распределение напряжений вокруг горных выработок, Углетехиздат, 1956.

თ. ანჯაფარიძე, მ. კუკულაძე

საინჟინერო მექანიკის განყოფილებაში თეორიული და ექსპერიმენტული მეთოდების გამოყენებით

რ ე ბ ი ბ ე

სტატიაში თეორიული მეთოდების გამოყენებით შესწავლილია სინკლურული ხვრელის მიწვეთვით დატვირთვის განაწილება თანაბრად განაწილებული დატვირთვის და შედეგის დადგენის სხვადასხვა მნიშვნელობების ურთიერთობის მიხედვით.

O.Anjaparidze, M.Kukuladze

DISTRIBUTION OF STRESSES IN A PLATE WITH
A RECTANGULAR HOLE COMPRESSED BY UNIFORMLY
DISTRIBUTED AND CONCENTRATED FORCES

Summary

The distribution of stresses in a plate with a rectangular hole at different values of stretched bar was studied by the method of photoelasticity.

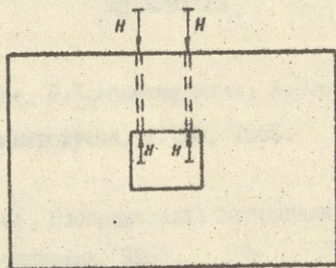
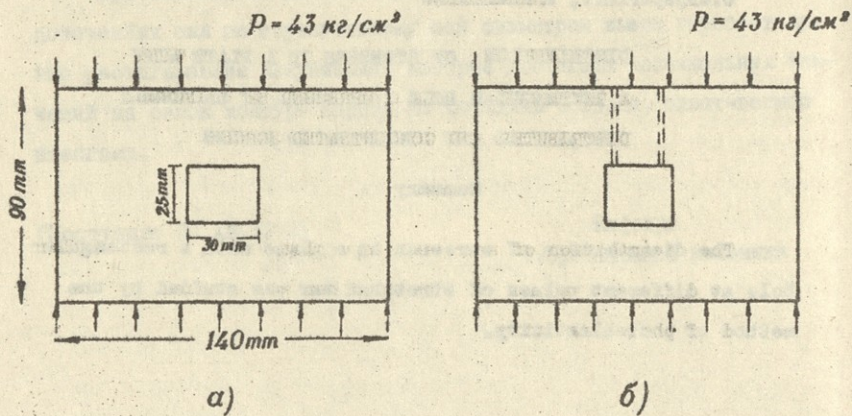


Рис. I

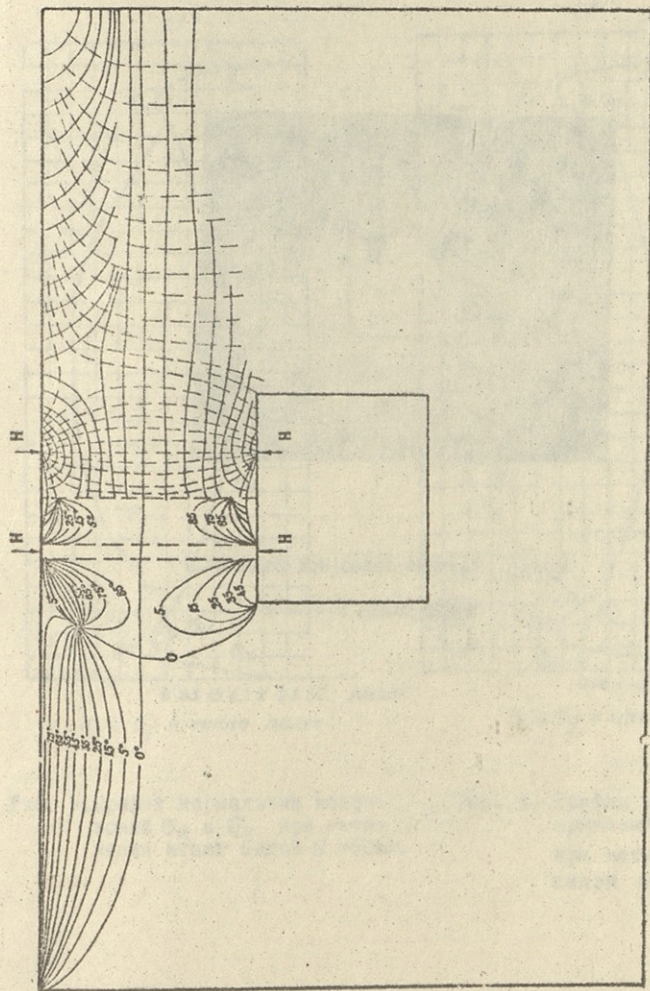


Рис. 2. Картина изоклин и изостат для пластинки, подвергнутой
ся натяжению штанг силой $H = 76$ кг.

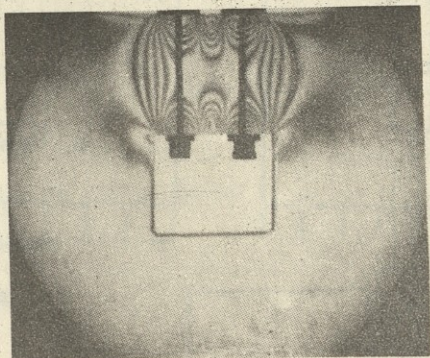


Рис.3. Картина полос при натяжении
штанг силой $H = 76$ кг.

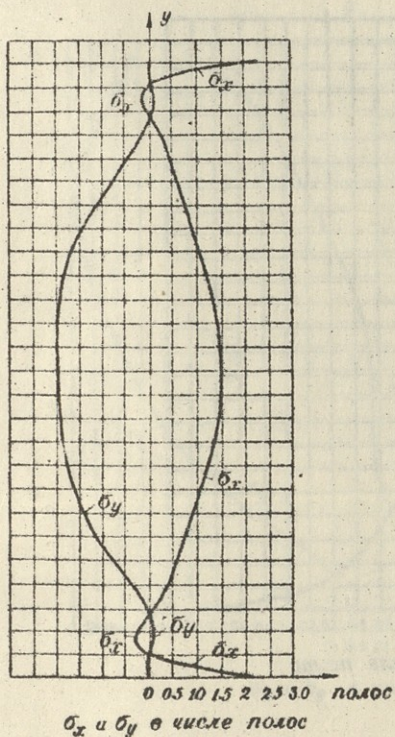


Рис. 4. График нормальных напряжений σ_x и σ_y при натяжении штанг силой $H = 60$ кг.

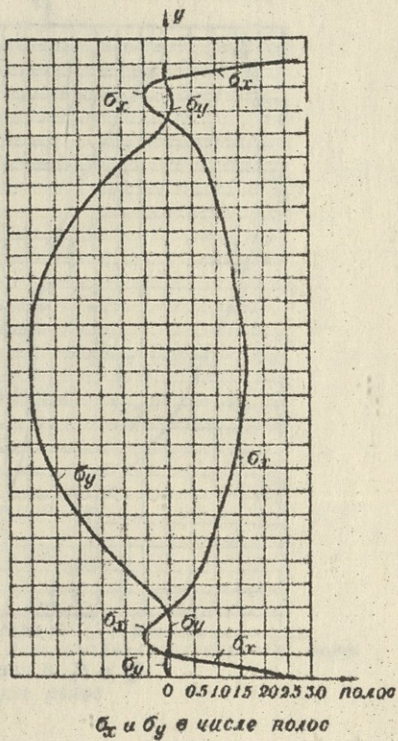


Рис. 5. График нормальных напряжений σ_x и σ_y при натяжении штанг силой $H = 76$ кг.

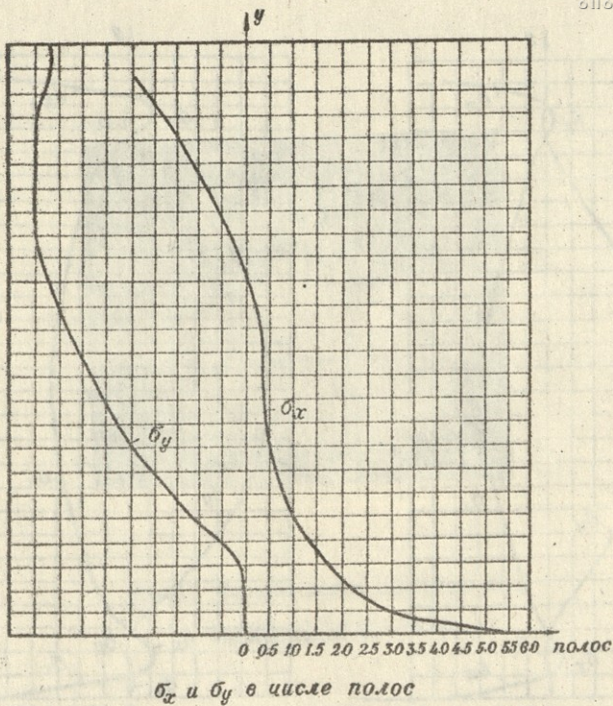


Рис.6. График нормальных напряжений при $P = 43 \text{ кг/см}^2$ и натяжений штанг силой $H = 42 \text{ кг}$.

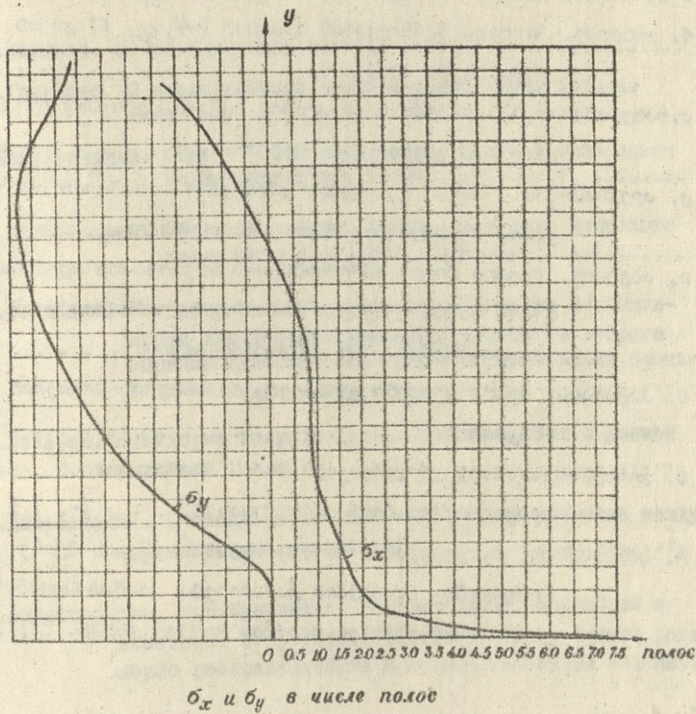


Рис.7. График нормальных напряжений при равномерно распределенной нагрузке $P = 43 \text{ кг/см}^2$ и распоре натяжения силой $H = 76 \text{ кг}$.



Յ . Երևան . Բաժնետիրական ընկերության կողմից 26

Զ . Երևան . Երևանի մարզի կողմից (-4, 9, 1) օրվան
 շարժման օրագրով 26

Է . Երևան . Երևանի մարզի կողմից 34

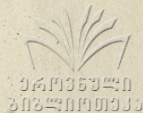
Ը . Երևան . Երևանի մարզի կողմից 35

Թ . Երևան . Երևանի մարզի կողմից 49

Ժ . Երևան . Երևանի մարզի կողմից 67

Ի . Երևան . Երևանի մարզի կողմից 69

Լ . Երևան . Երևանի մարզի կողմից 80



П.Г.Когония. Об объединениях классов вычетов.....	5
Р.Ш.Гонгадзе. О представлении чисел квадратичными формами типе $(-4, q, 1)$	15
А.С.Хухутаишвили. Описание специальных радикалов в сплетениях недвильпотентных групп.....	29
Г.Н.Александрия. Об одной внешней граничной задаче линейного сопряжения с заданным смещением.....	47
И.О.Абуладзе. Разностные схемы повышенного порядка аппроксимации для дифференциального уравнения второго порядка эллиптического типа со смешанными произ- водными	53
Н.Н.Патерая. Некоторые вопросы турбулентного трения в вязкой жидкости	55
Н.П.Джорбенадзе. О стационарном движении вязкой жидкости между параллельными пластинами	74
О.Е.Анджапаридзе, М.Н.Кукуладзе. Распределение напряжений в пластинке с прямоугольным отверстием, сжатой равно- мерно распределенными и сосредоточенными силами..	77

CONTENTS

P.Kogonia. On unifications of classes of substractions.	13
R.Gongauze. On the representation of numbers by quadratic forms of type $(-4, q, 1)$	27
A.Khakhutaishvili. Description on the special radical radicals in wreath products of the overnilpotent groups	34
G.Alexandria. On an external boundary problem of linear conjugation with a given displacement.	48
I.Abuladze. High-order difference schemes of approximation for second-order differential equations of elliptic type with mixed derivatives	54
N.Patarais. Some questions of turbulent friction in viscous fluid	67
N.Jorbenadze. On the steady motion of a viscous fluid between parallel plates.	75
O.Anjaparidze, M.Kukuladze. Distribution of stresses in a plate with a rectangular hole compressed by uniformly distributed and concentrated forces	81

გამომცემლობის რედაქტორი რ. აბუაშვილი

კორექტორი უ. სულხანიშვილი

ბარათის წარმოებას 4.X.76

ხელმოწერილია რასაბეჭდად 15.VII.76

ქაღაღდის ჭურჭელი 60 X 84

ბაბეჭდი თაბახი 4,25

სააღრიცხვო-საგამომცემლო თაბახი 3,65

შეკვეთა 340

უკ 11302

ფირმაში 300

ფასი 43 კპ.

თბილისის უნივერსიტეტის გამომცემლობა, თბილისი 380028

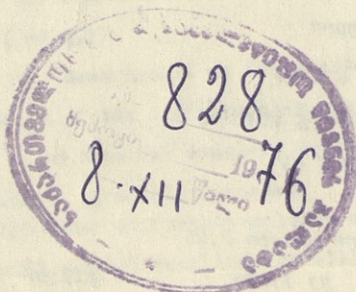
ი.ჭავჭავაძის კრთსვეტი, 14

Издательство Тбилисского университета

Тбилиси 380028, пр. И.Чавчавадзе, 14

საქ. სსრ ბეიზ. აკადემიის სტაბა, თბილისი, 380060, კუტუზოვის ქ.19

Типография АН Груз. ССР, Тбилиси 380060, ул. Кутузова, 19



86-1976.

76-828

34135320
2025010933